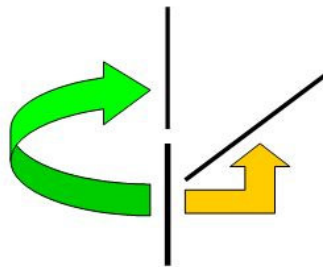


# Relationale Wachstumsgrammatiken und andere L-System-Verallgemeinerungen

## Der Schritt zu relationalen Wachstumsgrammatiken

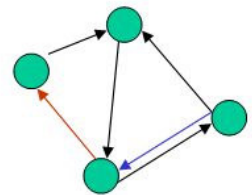
### Nachteil von L-Systemen:

- in L-Systemen mit Verzweigungen (über Turtle-Kommandos) nur 2 mögliche Relationen zwischen Objekten: "direkter Nachfolger" und "Verzweigung"



### Erweiterungen:

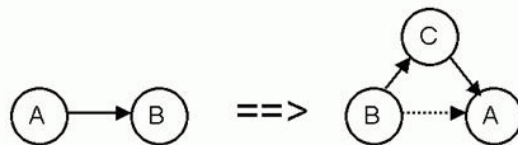
- Zulassen weiterer Relationstypen (beliebig wählbar)
- Zulassen von Zyklen (→ Graph-Grammatik)



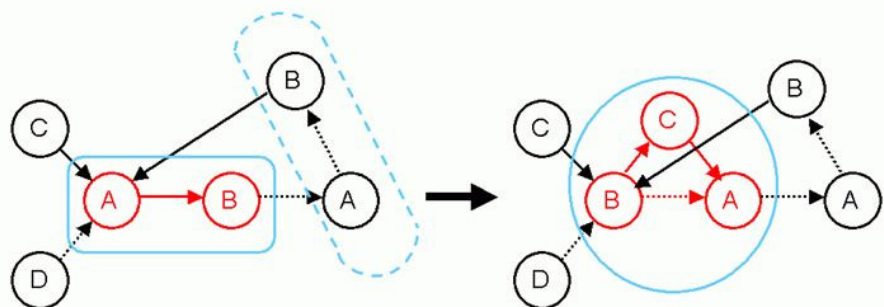
ebenfalls regelbasierter Mechanismus:

### Graph-Grammatiken

Regel:



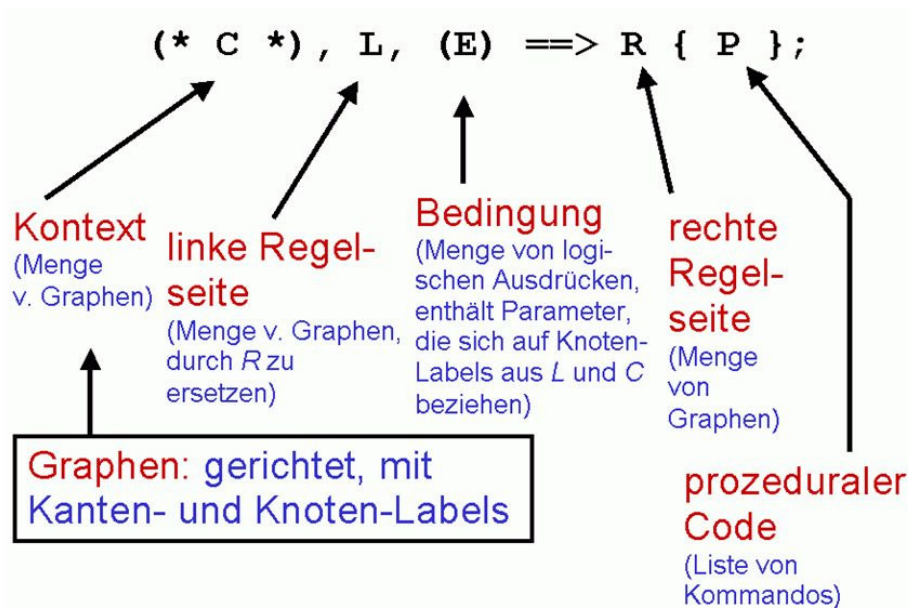
Anwendung:



## RELATIONALE WACHSTUMSGRAMMATIKEN

(RGG: Relational Growth Grammars, parallele Graph-Gramm.)

Aufbau einer Regel einer RGG:



**Kanten-Markierungen** repräsentieren verschiedene Arten von Relationen:

- ist Nachbar von
- enthält
- trägt
- codiert (genetisch)
- ist gepaart mit
- (...)

→auch möglich: Darstellung von multiskalierten Strukturen

**Standard-Kantentypen:**

successor (  $>$  oder *blank*), branch (  $+>$  oder erste Kante bei Klammern [...]), refinement (  $/>$  )

## RGG als Verallgemeinerungen von L-Systemen:

Zeichenketten entsprechen speziellen Graphen



In Textform schreiben wir allgemeine (selbstdefinierte) Kanten als `-kantensorte->`

Kanten des speziellen Typs "Nachfolger" werden meist als Leerzeichen geschrieben (statt `-successor->`)

### Sonderformen von RGG-Regeln:

**Aktualisierungsregeln** (Regelpfeil `::>`): es werden nur Parameter verändert

Beispiel: `s:Sphere ::> s[radius] += increment;`

**Instanzierungsregeln**: einzelne Zeichen werden in Substrukturen aufgelöst, ohne Einfluss auf den nächsten Entwicklungsschritt

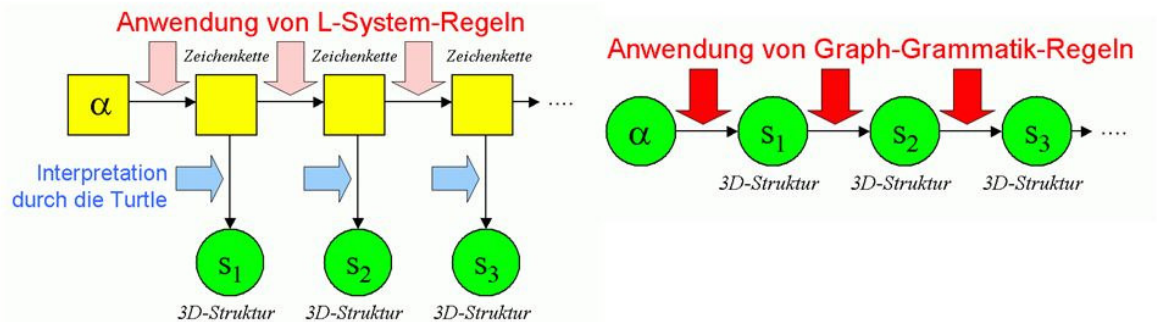
(Regel muss dann direkt in der Moduldeklaration stehen)

Beispiel:

```
module S(float value) extends Null ==>
  { float x = value; }
  Sphere(0.1). (setShader(new RGBAShader(1,1-x,1-x)) );
```

## Charakteristika von RGGs:

- Grammatik modifiziert direkt den Graphen, Umweg über String-Codierung entfällt (bzw. wird nur noch für Regel-Input gebraucht)



außerdem Nachteil der Turtle-Interpretation von L-Systemen: Segmente sind nur Zylinder, keine Objekte im Sinne der OOP

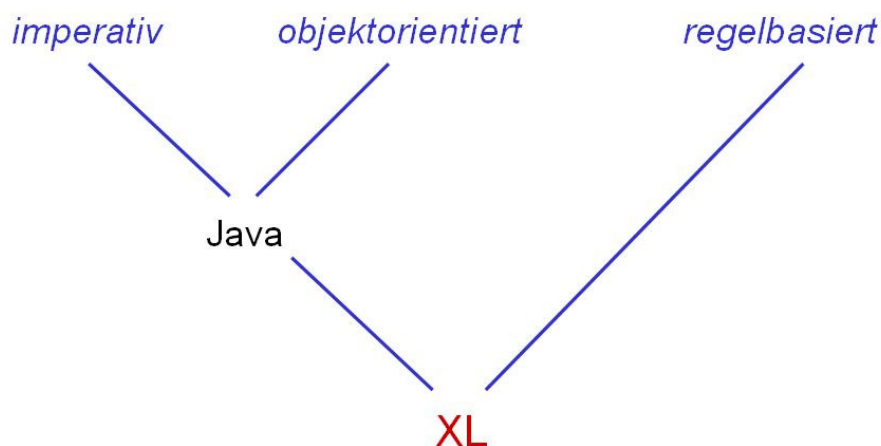
→ Erweiterungen:

- Knoten des Graphen können **beliebige Objekte** sein (auch Grafikobjekte)
- Einbettung von Code einer höheren, imperativen oder objektorientierten Programmiersprache in die Regeln (für uns: **Java**)

## Programmiersprache zur Implementation von RGG: XL

„eXtended L-system language“

Programmiersprache, die parallele Graph-Grammatiken (RGG) einfach verfügbar macht



# Die Sprache XL

## Sprachspezifikation: Kniemeyer (2007/08)

Ole Kniemeyer: Design and Implementation of a Graph Grammar Based Language for Functional-Structural Plant Modelling. Dissertation, BTU Cottbus 2008.  
<http://nbn-resolving.de/urn/resolver.pl?urn=urn:nbn:de:kobv:col-opus-5937>

- Erweiterung von Java
- erlaubt zugleich Spezifikation von L-Systemen und RGG in intuitiv verständlicher Regelschreibweise

prozedurale Blöcke, ähnlich Java: { ... }

regelorientierte Blöcke (RGG-Teil): [ ... ]

### Eigenschaften der Sprache XL:

- Knoten der Graphen sind Java-Objekte, auch Geometrie-Objekte

### Beispiel: XL-Programm für die Koch'sche Kurve

```
public void derivation()  
[  
  Axiom ==> RU(90) F(10);  
  F(x) ==> F(x/3) RU(-60) F(x/3) RU(120) F(x/3) RU(-60) F(x/3);  
]
```

Knoten des  
Graphen

Kanten (Typ „Nachfolger“)

## 3D-Objekte in XL

Spezielle Knoten:

Geometrieobjekte

Box, Sphere, Cylinder, Cone, Frustum, Parallelogram...

Zugriff auf Properties über Parameterliste (Konstruktor):

```
Box(x, y, z)
```

oder mit setter-Methoden:

```
Box(...).setColor(0x007700)
```

Transformationsknoten

```
Translate(x, y, z), Scale(cx, cy, cz), Scale(c),
```

```
Rotate(a, b, c), RU(a), RL(a), RH(a), RV(c), RG, ...
```

Lichtquellen

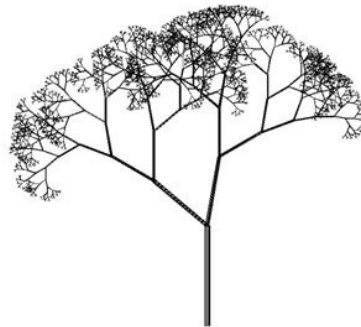
PointLight, DirectionalLight, SpotLight, AmbientLight

## Eigenschaften der Sprache XL:

- Regeln in Blöcken [...] organisierbar, Steuerung der Anwendung durch Kontrollstrukturen

### Beispiel: Regeln für den stochastischen Baum

```
start ==> L(100) D(5) A;  
A ==> F0 LMul(0.7) DMul(0.7)  
  if (probability(0.5))  
    ( [ RU(50) A ] [ RU(-10) A ] )  
  else  
    ( [ RU(-50) A ] [ RU(10) A ] );
```



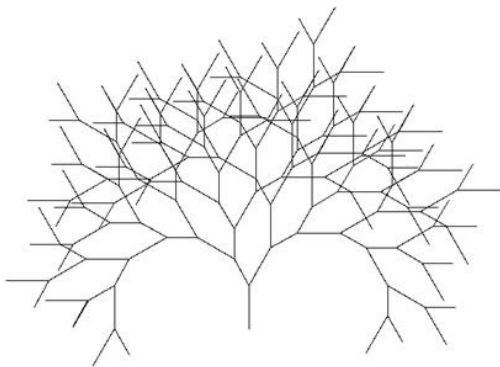
- parallele Regelanwendung
- parallele Ausführung von Zuweisungen möglich
- Operatorüberladung (z.B. „+“ für Zahlen wie für Vektoren)
- mengenwertige Ausdrücke (genauer: Producer statt Mengen)
- Graph-Abfragen (queries) zur Analyse der aktuellen Struktur

## Beispiel für Graph-query:

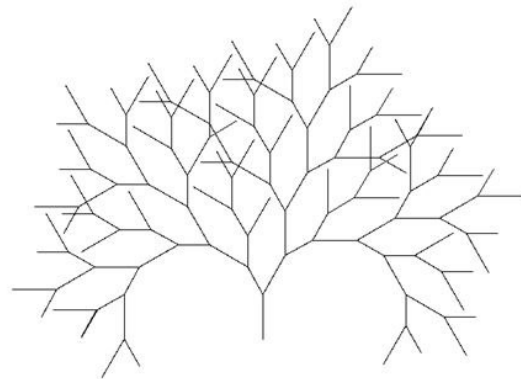
Binärer Baum, Wachstum soll nur erfolgen, wenn genügender Abstand zu anderen F-Objekten

```
Axiom ==> F(100) [ RU(-30) A(70) ] RU(30) A(100);  
a:A(s) ==> if ( forall(distance(a, (* F *))) > 60 )  
              ( RH(180) F(s) [ RU(-30) A(70) ] RU(30) A(100) )
```

ohne die if-Bedingung



mit der if-Bedingung



Queries bieten Möglichkeit der Verbindung von Struktur und Funktion in Organismen-Modellen

- aggregierende Operatoren (z.B. "sum", "mean", "forall", "selectWhereMin") dienen der Verarbeitung der Ergebnisse von Queries

Beispiel: suche alle Blätter, die Nachfolger des Knotens *c* sind, und summiere deren Fläche

```
sum ( (* c (>) + Leaf *) .area)
```



Aggregationsoperator



transitive Hüllenbildung



Ergebnis kann übergeben werden an prozedurale Berechnung



Query in einem Pflanzen- / Tier-Modell:

`p:Plant,`

`(* a:Animal, (distance(a,p) < p[radius]) *)`



sucht alle Tiere innerhalb des Radius von p

was ist von der in XL erzeugten Graph-Struktur sichtbar?

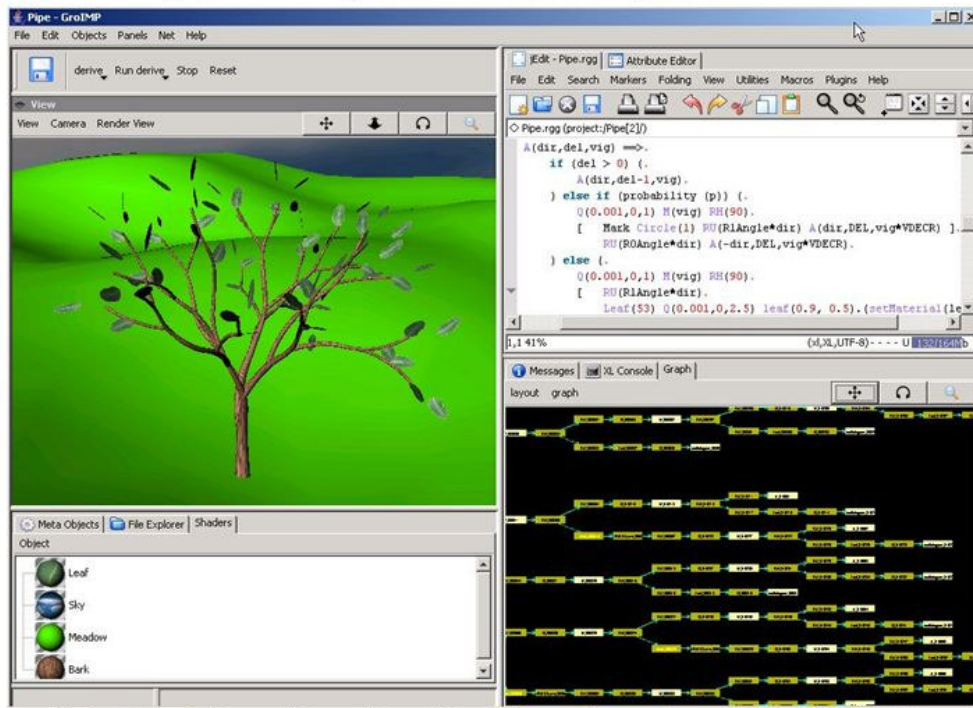
alle Geometrieknoten, die von der Wurzel (Zeichen: ^) des Graphen über genau einen Pfad, der nur aus "successor"- und "branch"-Kanten besteht, erreichbar sind.

Erzwingen, dass ein Objekt auf jeden Fall sichtbar ist:

`==>> ^ Objekt`

zum Arbeiten mit XL:

## Interaktive 3D-Plattform **GroIMP** (Growth-grammar related Interactive Modelling Platform) mit XL-Compiler



- GroIMP ist ein Open Source-Projekt

<http://www.grogra.de>

<http://sourceforge.net/projects/groimp/>

siehe auch das Wiki:

[http://sourceforge.net/apps/mediawiki/groimp/index.php?title=Main\\_Page](http://sourceforge.net/apps/mediawiki/groimp/index.php?title=Main_Page)

*GroIMP ist eine Kombination von:*

- Graph-Grammatiken- (XL-) Interpreter
- Entwicklungsumgebung für XL
- 3D-Modeller
- 3D-Renderer (mehrere Varianten)
- 2D-Graphen-Visualisierer
- Editor für 3D-Objekte und Attribute
- Texturerzeugungswerkzeug
- X3D- (VRML-) Viewer (*in Arbeit*)

Anwendungsbeispiel: Modellierung von Parklandschaften

(Rogge & Moschner 2007, für Stiftung Branitzer Park, Cottbus)

mit GroIMP  
generierte Erle  
in VRML-Welt



Erweiterungen des L-System-Formalismus, die bisher nicht unmittelbar in die Sprache XL integriert sind:

*Timed L-systems (zeitverstetigte L-Systeme)*

Überwindung der Beschränkung auf diskrete Zeit:

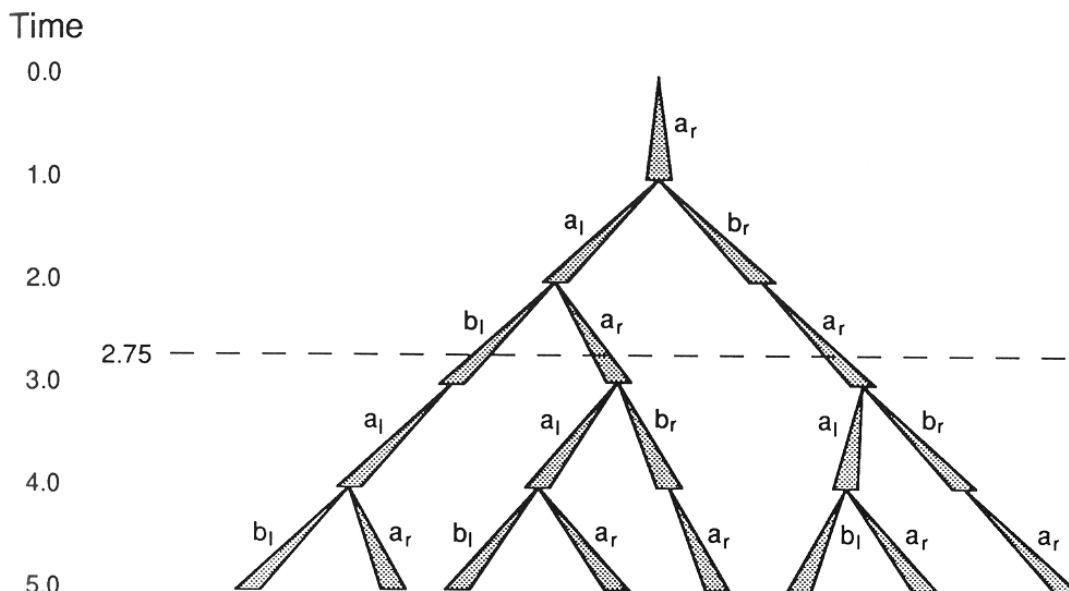
- jedes Symbol erhält als (zusätzlichen) Parameter einen Zeitwert
- dieser wird im Verlauf der Simulation stetig "hochgezählt"
- Produktionsregeln werden ausgelöst, wenn das "terminale Alter" eines Symbols erreicht ist

formale Def. siehe Prusinkiewicz & Lindenmayer (1990)

Beispiel:

$$\begin{aligned} \omega &: (a_r, 0) \\ p_1 &: (a_r, 1) \rightarrow (a_l, 0)(b_r, 0) \\ p_2 &: (a_l, 1) \rightarrow (b_l, 0)(a_r, 0) \\ p_3 &: (b_r, 1) \rightarrow (a_r, 0) \\ p_4 &: (b_l, 1) \rightarrow (a_l, 0) \end{aligned}$$

( $\omega$  = Startsymbol,  $p_1, \dots, p_4$  = Produktionsregeln)



(Realisierung in XL möglich mit Rate Assignment Operator und Monitorfunktionen; siehe

[http://sourceforge.net/apps/mediawiki/groimp/index.php?title=How\\_to\\_use\\_the\\_ODE\\_framework](http://sourceforge.net/apps/mediawiki/groimp/index.php?title=How_to_use_the_ODE_framework))

Überwindung der Beschränkung auf lokal 1-dimensionale Topologien (Verzweigungssysteme):

*map L-systems, cellwork L-systems*

verschiedene Varianten möglich

Beispiel:

Binary propagating map 0L-systems with markers

(mBPM0L-systems; Prusinkiewicz & Lindenmayer 1990)

*binary*: eine Region kann sich in höchstens 2 Tochter-Regionen teilen

*propagating*: es können keine Kanten gelöscht werden

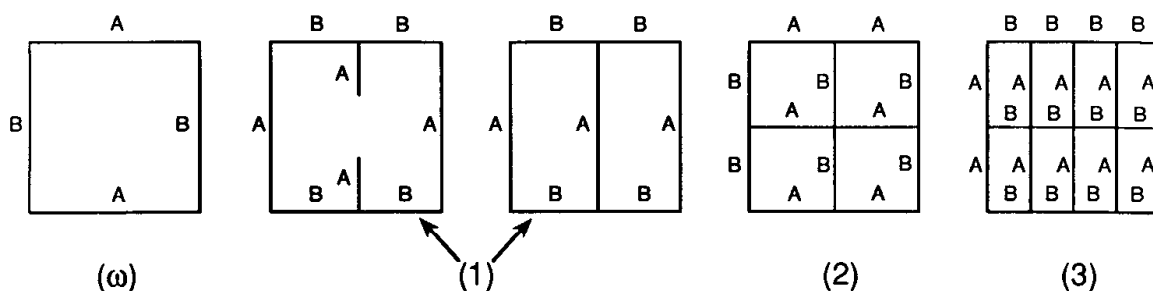
*Marker*: legen die Positionen neuer Kanten fest, die eine Region teilen

Symbole stehen für markierte, gerichtete Kanten (*edge labels*)  
 ein Ableitungsschritt besteht aus 2 Phasen: Ersetzung aller Kanten durch Nachfolgekanten und ggf. Marker entsprechend den Produktionsregeln, und Verbinden von Markern, die "matchen", zu neuen Kanten.

Beispiel:

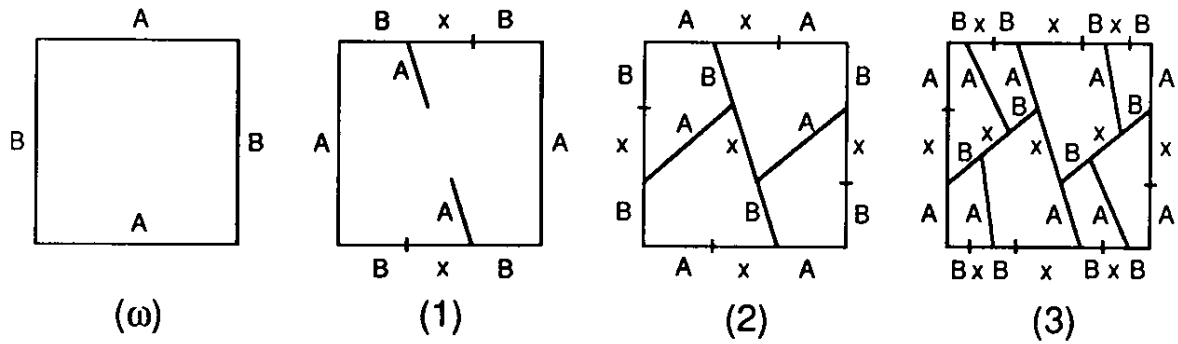
Startwort **ABAB**,

Regeln **A**  $\rightarrow$  **B** [ - **A** ] [ + **A** ] **B** und **B**  $\rightarrow$  **A**



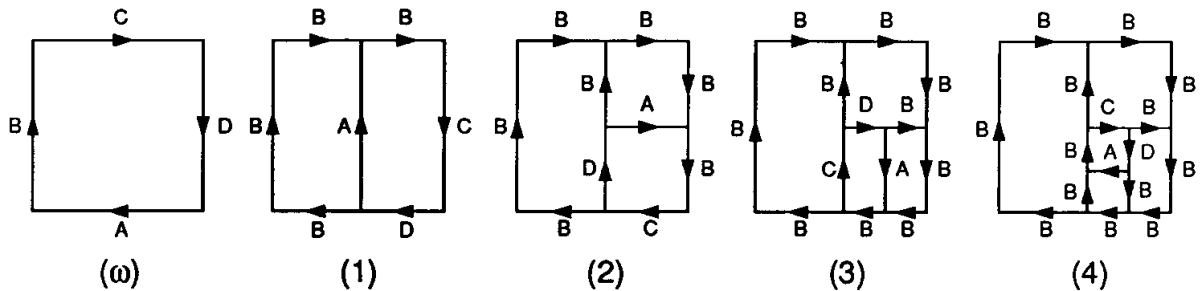
$\omega$  : ABAB  
 $p_1$  : A  $\rightarrow$  B[-A][+A]B  
 $p_2$  : B  $\rightarrow$  A

## 2. Beispiel:



$$\begin{aligned} \omega &: \text{ABAB} \\ p_1 &: \text{A} \rightarrow \text{B}[-\text{A}]x[+\text{A}]\text{B} \\ p_2 &: \text{B} \rightarrow \text{A} \end{aligned}$$

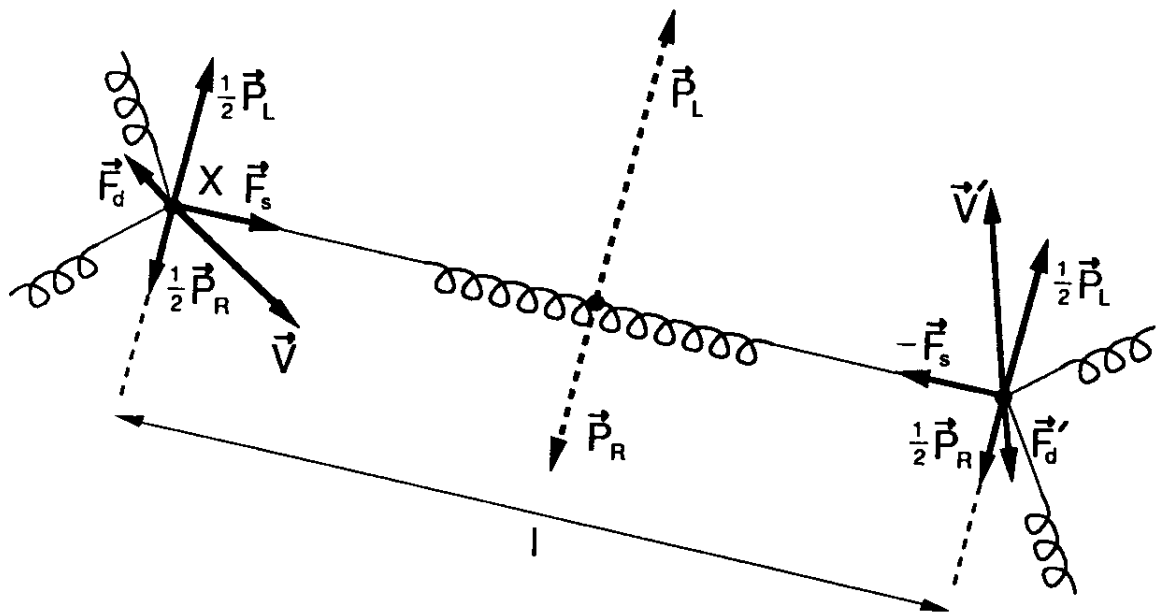
## 3. Beispiel (mit gerichteten Kanten):



$$\begin{aligned} \omega &: \overrightarrow{\text{A}}\overrightarrow{\text{B}}\overrightarrow{\text{C}}\overrightarrow{\text{D}} \\ p_1 &: \overrightarrow{\text{A}} \rightarrow \overrightarrow{\text{D}}[-\overrightarrow{\text{A}}]\overrightarrow{\text{B}} \\ p_2 &: \overrightarrow{\text{B}} \rightarrow \overrightarrow{\text{B}} \\ p_3 &: \overrightarrow{\text{C}} \rightarrow \overrightarrow{\text{B}}[-\overleftarrow{\text{A}}]\overrightarrow{\text{B}} \\ p_4 &: \overrightarrow{\text{D}} \rightarrow \overrightarrow{\text{C}} \end{aligned}$$

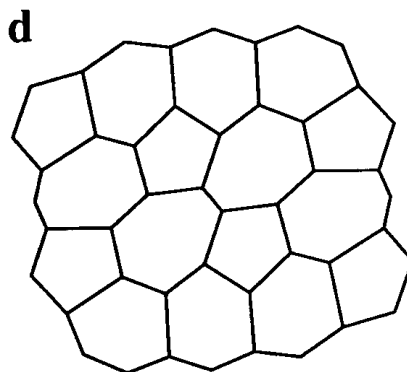
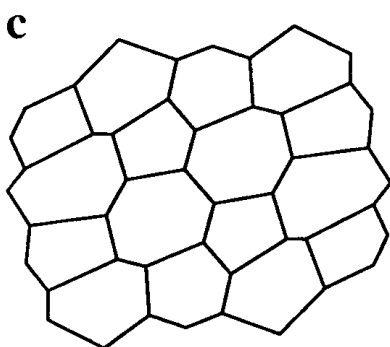
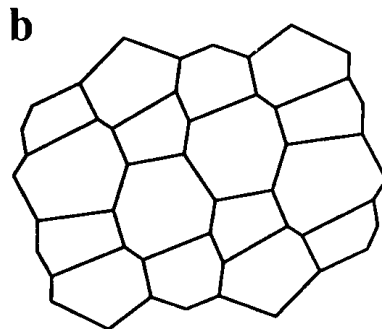
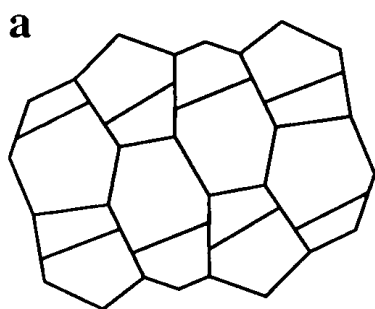
Problem: Geometrie der erzeugten Strukturen ist durch die Regeln nicht festgelegt  
(anders als bei gewöhnlichen L-Systemen mit Turtle-Interpretation)

ein möglicher Ansatz: dynamisches Modell, das Kräfte annimmt, die jede Zelle auf ihre Wände (Kanten) ausübt



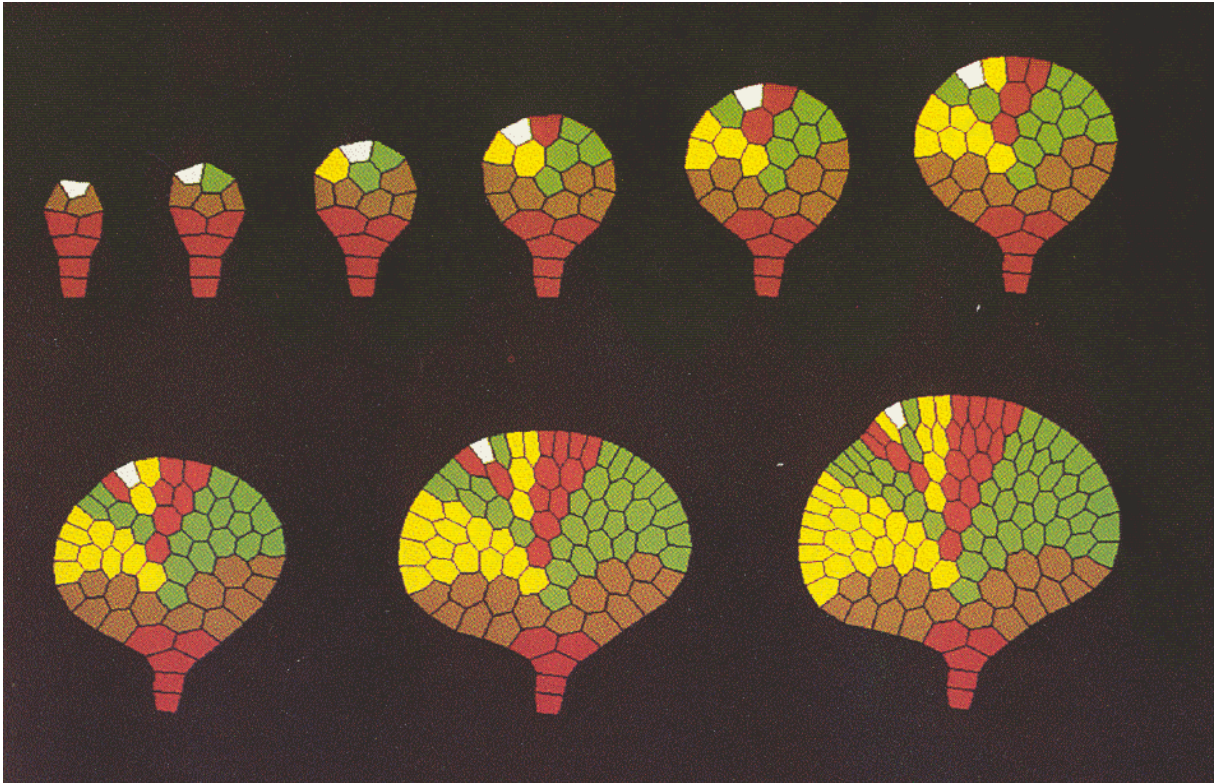
⇒ führt auf System von Differentialgleichungen, Lösung führt auf Gleichgewichtszustand

Beispiel (Iterationsschritte bei Lösung):

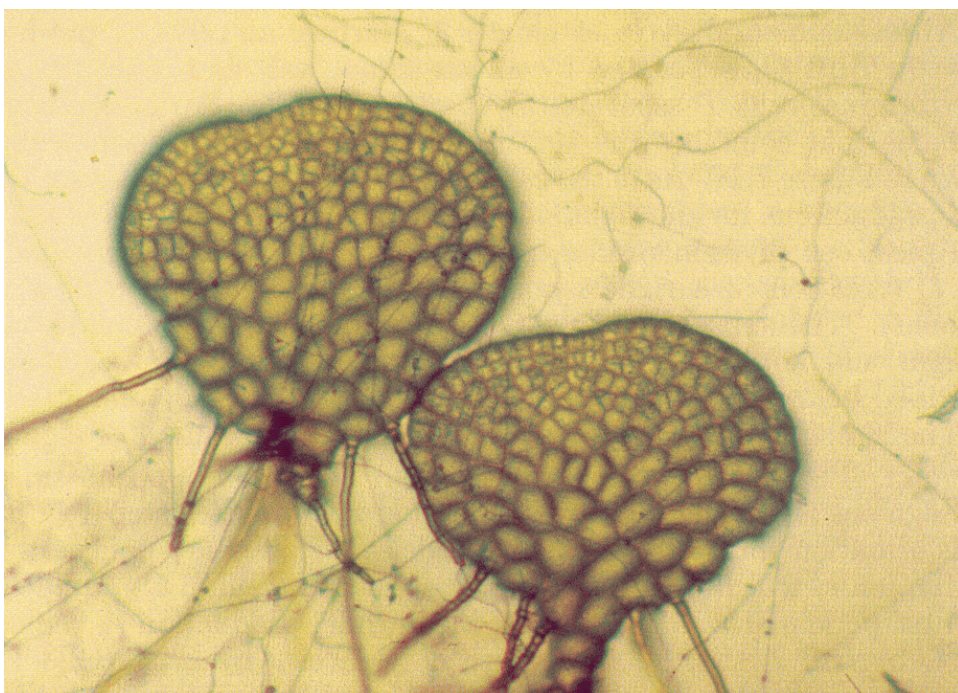


Anwendung: Simulation von Mikroorganismen  
hier: *Microsorium linguaeforme* (Farn-Gametophyt; Modell beruht  
auf botanischen Daten von de Boer; s. Prusinkiewicz & Lindenmayer  
1990)

simulierte Entwicklung:



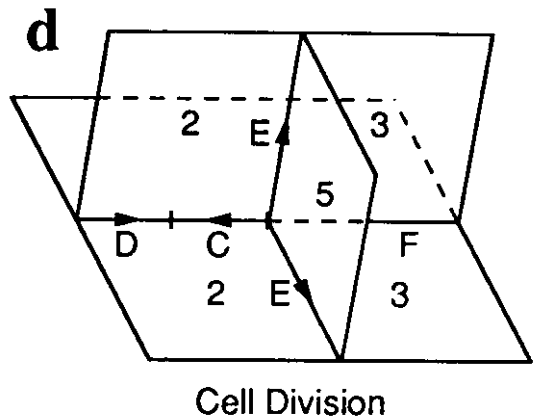
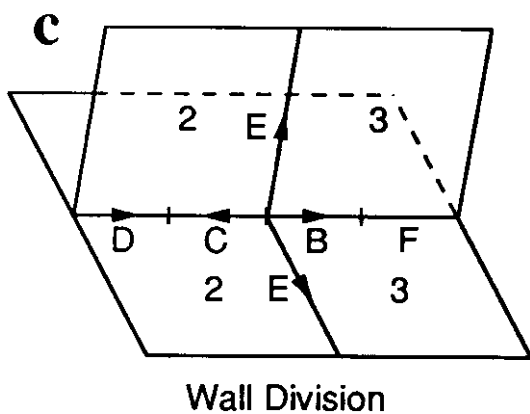
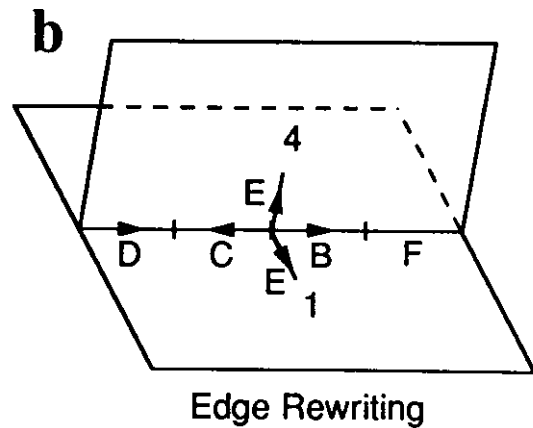
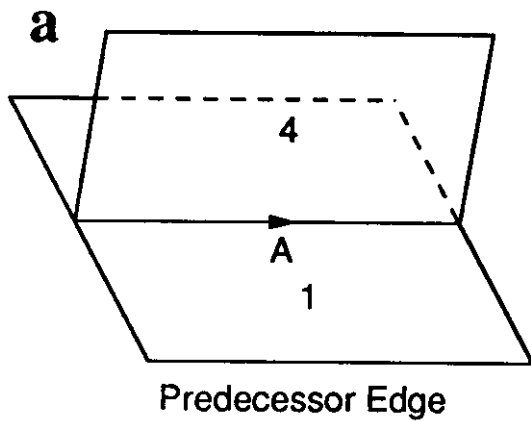
Mikrofotografie der realen Organismen:



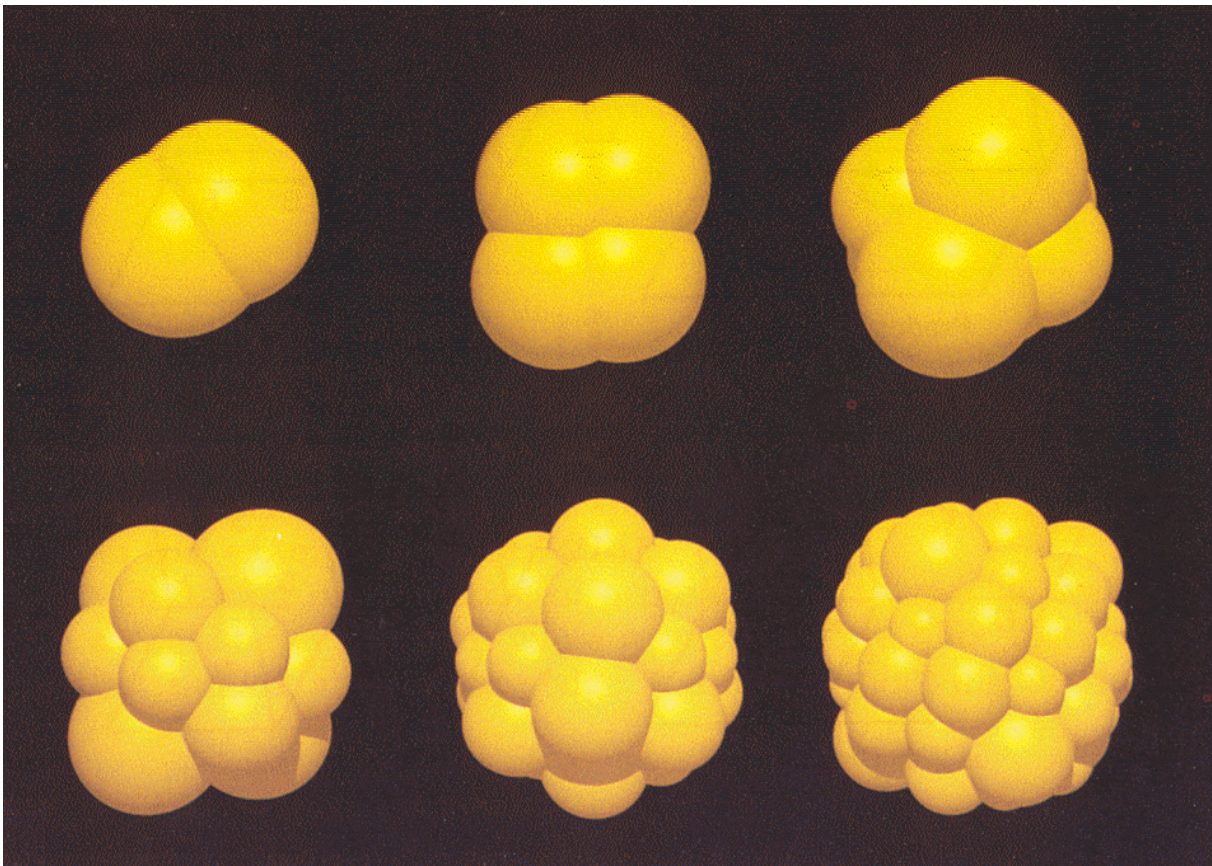


### 3D-Variante: *Cellwork L-systems*

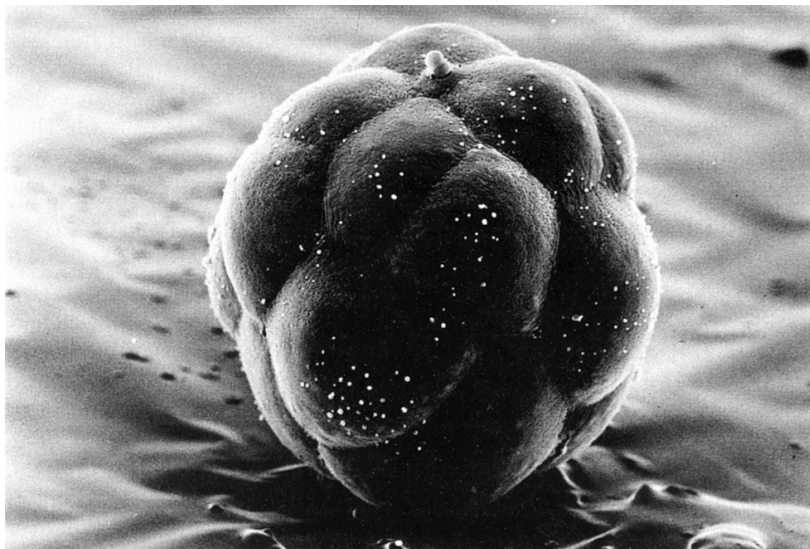
- Produktionsregeln wirken ebenfalls auf die Kanten
- 3 Phasen: Rewriting, Teilung der Zellwände, Teilung der Zellen (jeweils muss *matching* geprüft werden)



Beispiel: Modell des Schnecken-Embryos *Patella vulgata*



zum Vergleich: elektronenmikroskopische Aufnahme des realen Embryos

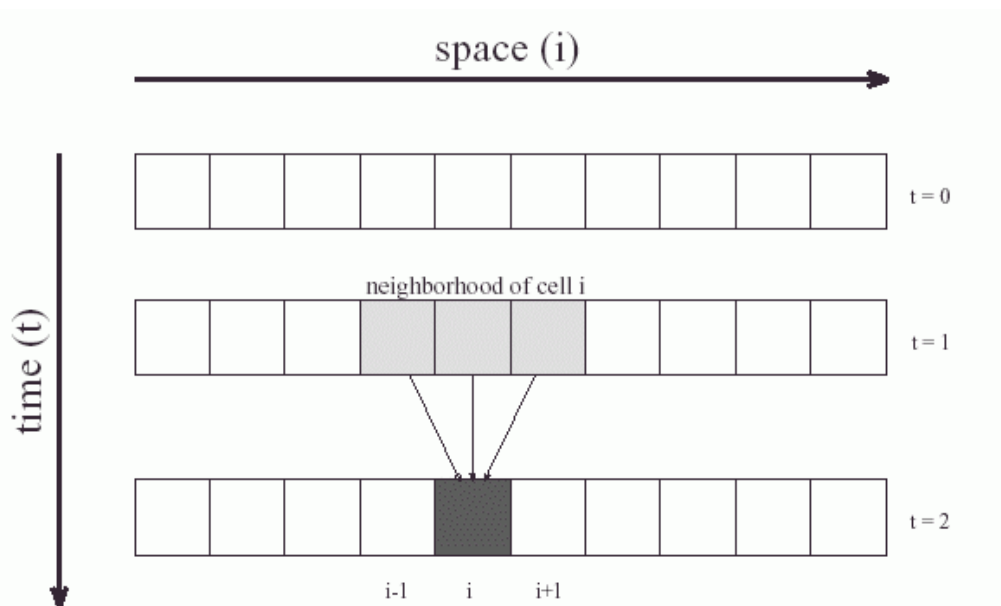


Ausschnitte entnommen aus  
Prusinkiewicz & Lindenmayer (1990)  
(genaue Quellenangaben siehe [http://www.uni-  
forst.gwdg.de/~wkurth/fs10\\_lit.htm](http://www.uni-forst.gwdg.de/~wkurth/fs10_lit.htm))

# Zelluläre Automaten

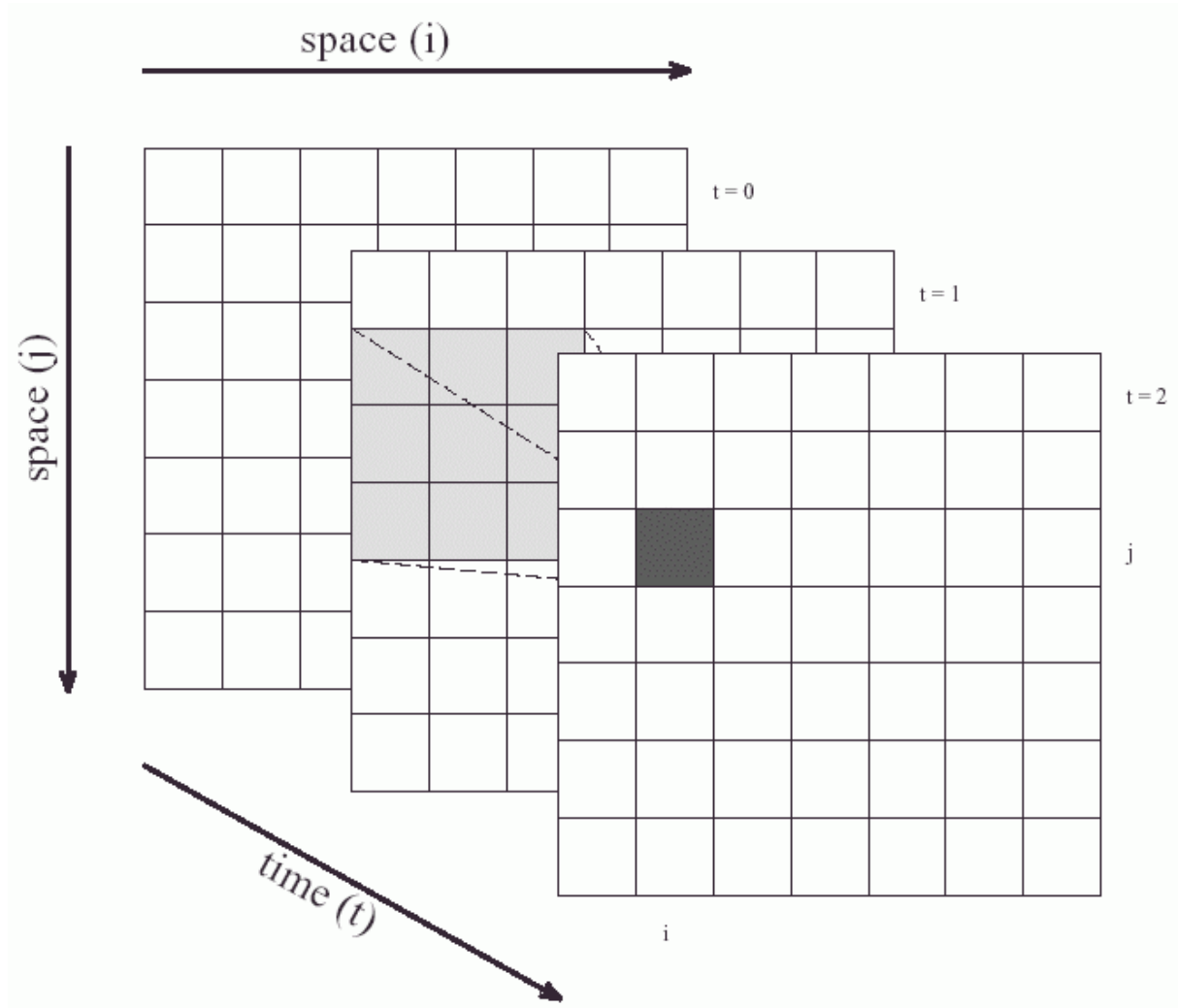
(auch: Zellularautomaten, Polyautomaten, *cellular automata*, CA)

- mathematische Modelle mit diskretem Raum und diskreter Zeit
- die Zeit verläuft in Schritten
- Raum wird als *Gitter* oder *Array von Zellen* repräsentiert
- in den klassischen CA-Modellen kann jede Zelle nur endlich viele Zustände annehmen
- für jede Zelle gilt eine Menge lokaler Regeln, die festlegen, wie sich der neue Zustand dieser Zelle aus ihrem Zustand und dem der Nachbarzellen (im vorherigen Zeitschritt) ergibt.
- Ein zellulärer Automat heißt *homogen*, wenn alle Zellen dieselbe Regelmenge haben. Wir betrachten im Folgenden nur homogene CA.



Je nach Dimensionszahl des zugrundeliegenden Gitters unterscheidet man 1-, 2- und höherdimensionale CA.

Raum und Zeit in einem 2-dimensionalen CA:



Formale Definition von CA:

4-Tupel  $(L, S, N, f)$  mit

$L$  regelmäßiges Gitter (Elemente von  $L$ : „Zellen“)

$S$  endliche Menge von Zuständen

$N$  endliche Menge von Nachbarschaftsindizes mit

$$\forall c \in N, r \in L: r + c \in L$$

$f: S^n \rightarrow S$  Übergangsfunktion

Konfiguration  $C_t: L \rightarrow S$  weist jeder Zelle einen Zustand zu,

$f$  ändert  $C_t$  zu  $C_{t+1}$ :  $C_{t+1}(r) = f(\{C_t(i): r \text{ in } N(r)\})$  mit  $N(r)$

Nachbarschaft von  $r$ .

- Wichtige Eigenschaften:
  - Homogenität  
Jede Zelle hat die selbe Zustandsmenge und Übergangsfunktion.
  - Lokalität  
Zustandsübergänge sind in Zeit und Raum lokal.

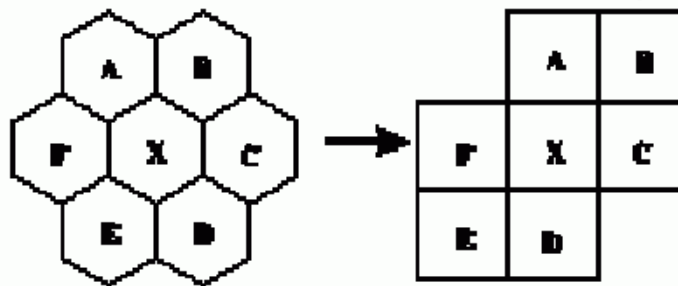
Wegen ihrer diskreten Struktur ist die Realisierung von CA auf Rechnern besonders einfach.

## Simulation von Zellulären Automaten

- Für jede Generation
  - $F$  = Feld der aktuellen Generation
  - Für jedes Gitterelement  $F(i,j)$   
Wende alle Regeln auf  $F(i,j)$  an und speichere Ergebnis in  $G(i,j)$
  - Kopiere  $G$  nach  $F$
- Verbesserungen:
  - Statt Kopierschritt abwechselnd aktueller ZA in einem der beiden Felder
  - Kompilieren der Regeln in eine „look-up-table“
- CA können regelbasiert in der Sprache XL implementiert werden
- mit Parallelrechnern hochgradige Parallelisierung der Berechnung möglich.

# Gitter-Geometrie

- Reguläres Gitter
- Ein-dimensionaler Automat: Lineares Feld  
Beispiele: Verkehrssimulation, „Color-Eater“
- Zwei-dimensionale Automaten:
  - Dreieckige Zellen: wenige direkte Nachbarn,
  - Quadratische Zellen: einfache Repräsentation, einfache Visualisierung, manchmal nicht ausreichend isotrop.
  - Hexagonale Zellen: geringste Anisotropie
- Dreieckige und Hexagonale Automaten müssen auf ein quadratisches Gitter abgebildet werden:
  - Scheren-Abbildung:  $shear(i, j) = (i + floor(j/2), j)$



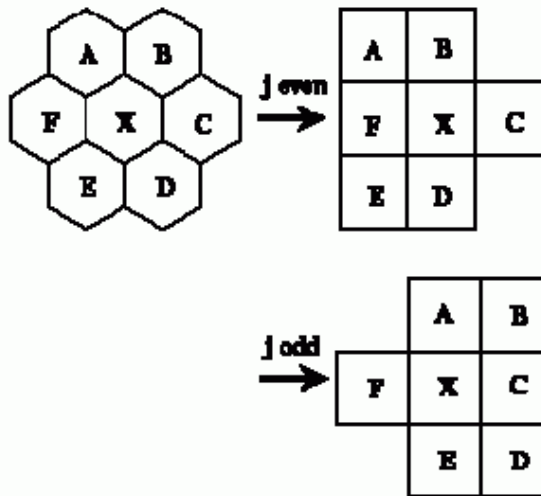
Nachbarschaft wird einheitlicher erhalten, aber Bedingungen für Grenzen schwieriger berechenbar.

Für Visualisierung Rücktransformation notwendig

## Literatur:

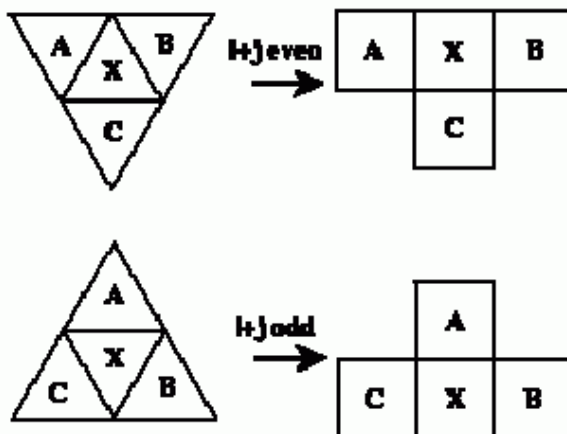
J. Weimar (1998): Simulation with Cellular Automata,  
<http://www.tu-bs.de/institute/WiR/weimar/Zaskript/>

- Shift-Abbildung  $shift(i,j) = (i,j)$

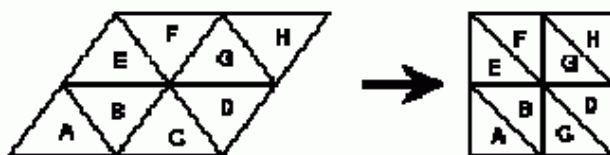


Grenzbedingungen einfach zu implementieren, Visualisierung einfach, Nachbarschaft abhängig von Parität des Index → inhomogen  
 Fehlende Indizes hinzunehmen und auf der Basis eines invarianten Zustandsteils die sechs relevanten Nachbarn ausfiltern.

- Abbildungen für Dreieckszellen:



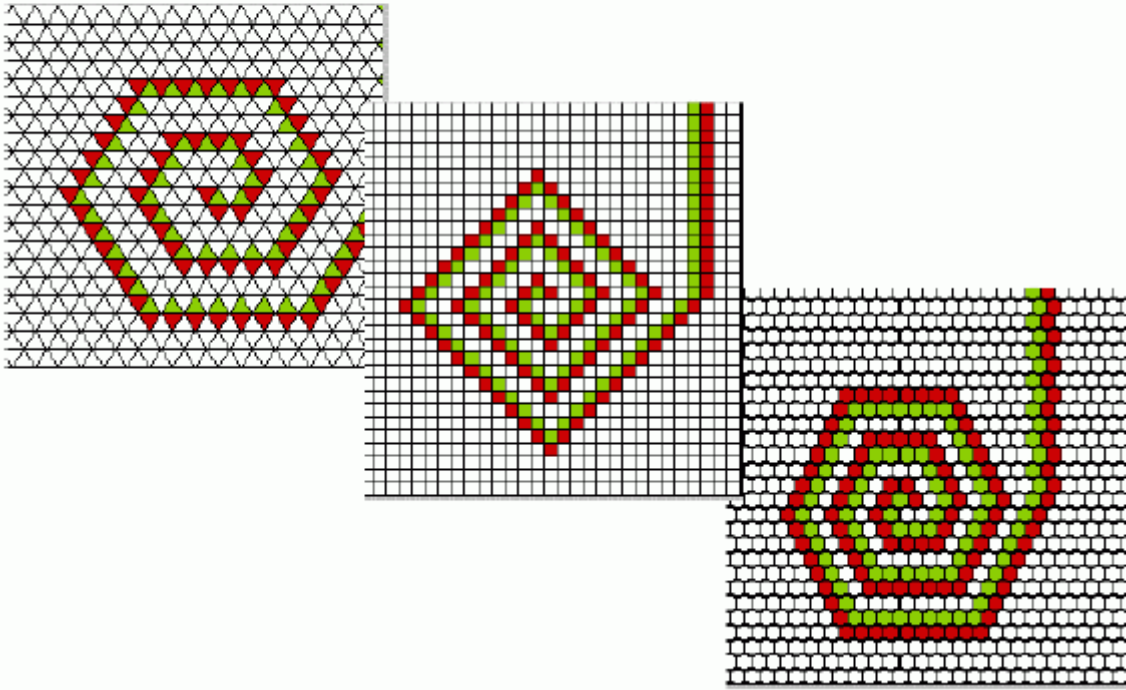
Jede Zeile von Dreiecken wird auf eine Zeile von Quadrate abgebildet → Nicht einheitliche Nachbarschaften



Erweiterung des Zustands einer Zelle notwendig (SxS), → größere Zustandsmenge einheitliche Transformation der Nachbarschaften,

# Gitter Topologie 2D

---

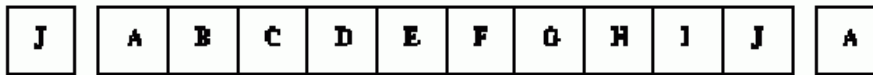




## Das Problem der Gitter-Ränder:

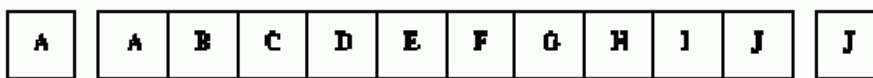
- Simulation eines wirklich unendlichen Gitters unmöglich (simulationstechnisch und möglicherweise durch reales System bedingt - natürliche Grenzen)

- Periodische Grenzen



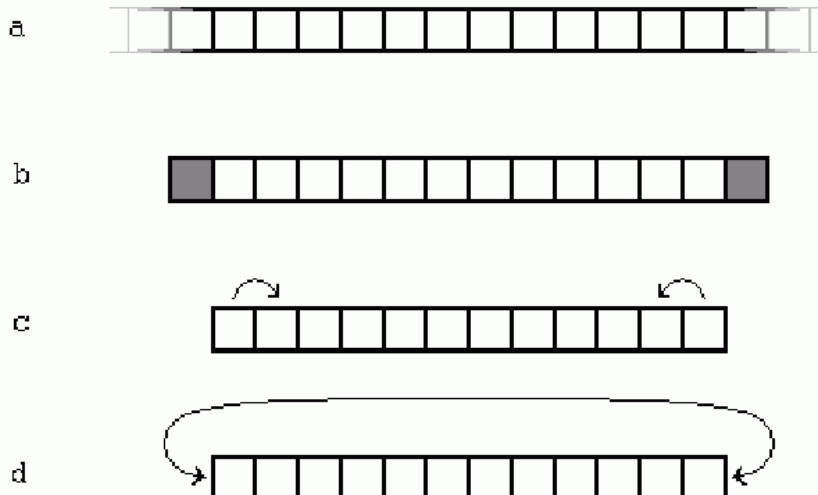
Bei zwei-dimensionalen Automaten - „Torus“

- Reflektive Grenzen



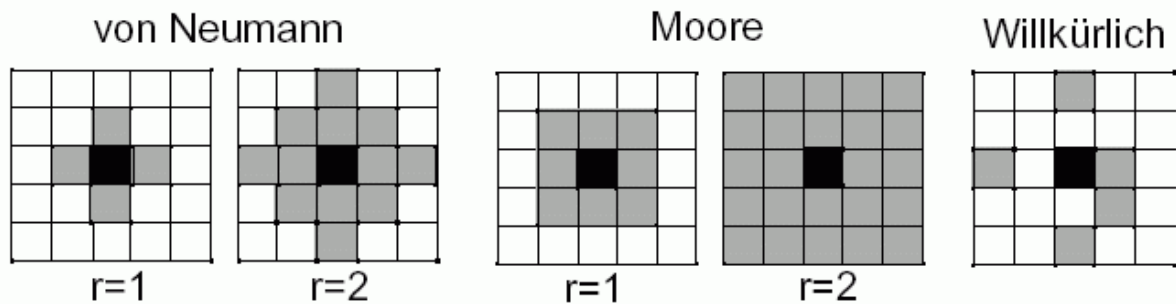
Wenn das reale System Grenzen hat, aber der Wert an der Grenze nicht vorgegeben ist.

- Kombinationen möglich, z.B. um einen langen Tunnel zu simulieren sind periodische Grenzen in der Horizontalen, reflektive Grenzen in der Vertikalen sinnvoll.
- Fixe Grenzen:  
Zellen an der Grenze besitzen fixen Wert.



a: unendliches Gitter, b: fixe Grenzen, c: reflektive Grenzen, d: periodische Grenzen

# Nachbarschaften



Gegeben: Zelle  $i, j$

- Von Neumann-Nachbarschaft  
$$N_{i,j} = \{(k,l) \in L : |k-i| + |l-j| \leq r\}$$
- Moore-Nachbarschaft  
$$N_{i,j} = \{(k,l) \in L : |k-i| \leq r \wedge |l-j| \leq r\}$$
- Grundsätzlich kann jede Art von Nachbarschaftsmenge gebildet werden, solange sie für alle Zellen gleich und endlich ist.
- Große Nachbarschaften → bessere Isotropie, beim Simulieren ineffizient.

## Zustände

- jede Zelle in  $G$  befindet sich in einem definierten Zustand, der Element der endlichen Menge von Elementarzuständen ist, z.B.  
 $E = \{\text{ein}, \text{aus}\}$

# Lokale Funktion / Regeln

---

- definiert für jede Zelle und alle möglichen Umgebungen den nächsten Zustand, z.B. als Regel
- Regeln heißen **totalistisch**, falls sie nur summarisch von den Nachbarzuständen abhängen
- Regeln sind i.Allg. nicht umkehrbar - eine Konfiguration kann verschiedene Vorgänger haben
- **probabilistische** Regeln erlauben, im Gegensatz zu **deterministischen** Regeln eine stochastische Auswahl mehrerer Folgezustände für die gleiche Umgebung

# Regelanwendung

---

- **synchrone** Automaten wenden  $f$  zu jedem Zeitschritt auf alle Zellen gleichzeitig an
- **asynchrone** Automaten wenden  $f$  sequentiell auf alle Zellen an:
  - in fester, deterministischer Folge
  - in stochastischer Folge
  - in dynamisch gesteuerter, deterministischer Folge
  - ...

im Folgenden werden nur synchrone CA betrachtet.

Beispiel eines zweidimensionalen zellulären Automaten:

John H. Conway (späte 60er Jahre): "*Game of Life*"

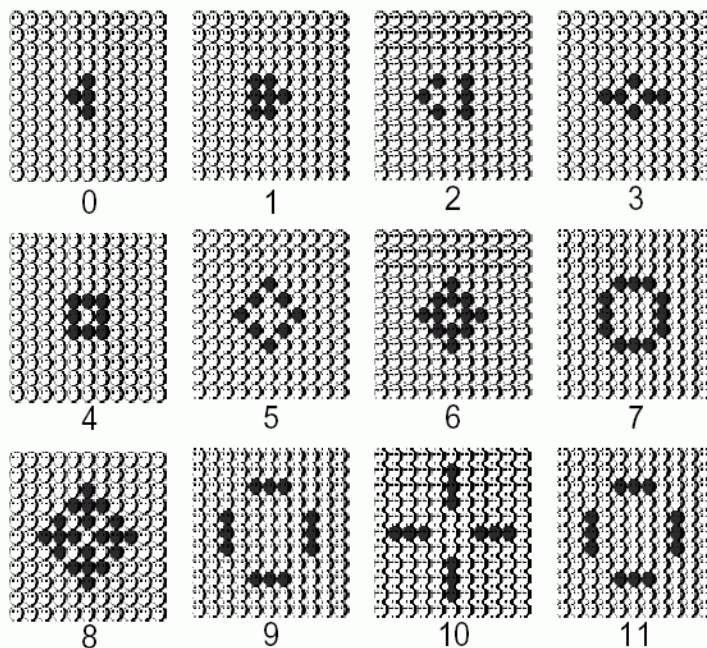
1970 von Martin Gardner in seiner mathematischen Kolumne in "Scientific American" vorgestellt, löste Welle weltweiter Forschung an diesem CA aus.

- regelmäßiges Quadratgitter
- nur 2 Zustände ("tot" und "lebendig", bzw. "0" und "1")
- Moore-Nachbarschaft mit Radius 1, d.h. es werden 8 Nachbarzellen betrachtet
- Regeln:

Life-Regeln

- Eine Zelle ist im nächsten Takt „lebendig“, wenn genau drei ihrer Nachbarn lebendig sind
- Eine lebendige Zelle ist im nächsten Takt „tot“, wenn weniger als 2 oder mehr als 4 ihrer Nachbarn lebendig sind.

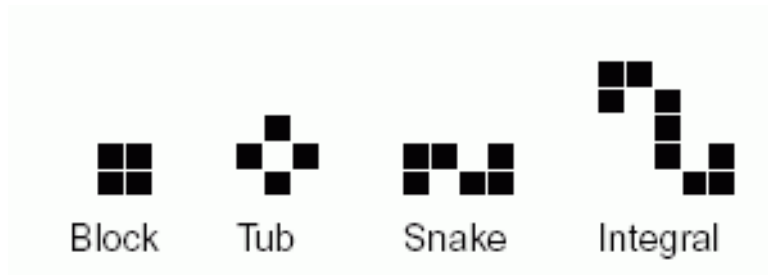
Beispiel-Entwicklung:



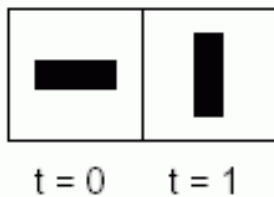
Muster lassen sich durch ihr Verhalten (bei der weiteren Entwicklung) klassifizieren.

Beispiele:

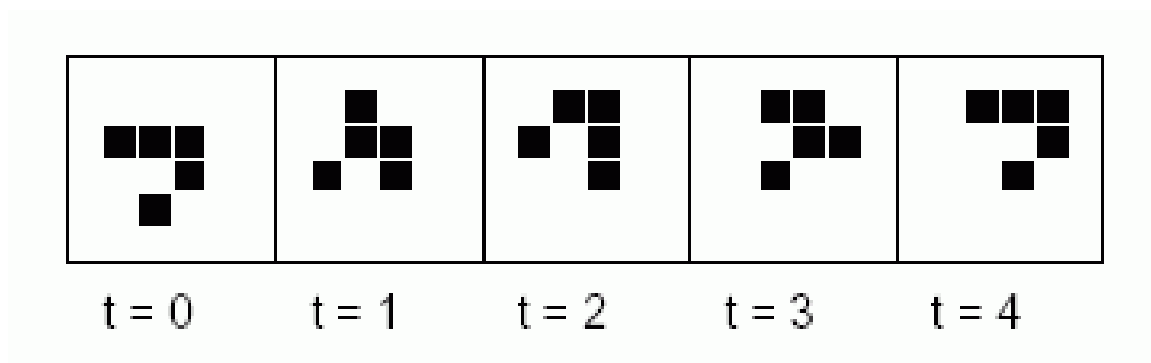
**Typ I:** "Stilleben", Muster, die sich nicht ändern (Fixpunkte der Übergangsfunktion):



**Typ II:** Oszillatoren (periodische Muster): z.B. der "Blinker"

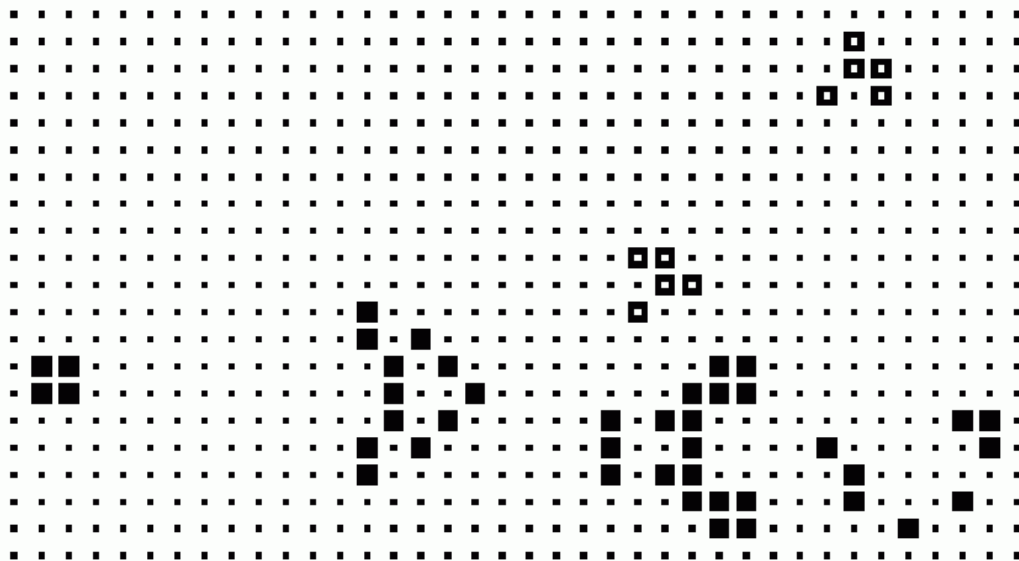


**Typ III:** "Raumschiffe" = Muster, die nach einer endlichen Zahl von Schritten wiederkehren, aber räumlich verschoben. Muster, die sich mit konstanter Geschwindigkeit über das Gitter bewegen. Beispiel: der "Gleiter"



**Typ IVa:** "Kanonen" = Oszillatoren, die in jedem Zyklus Raumschiffe emittieren.

Gleiterkanone:



**Typ IVb:** "Dampfer" = Raumschiffe, die Stilleben, Oszillatoren und / oder Raumschiffe hinter sich lassen.

**Typ IVc:** "Brüter" = Muster, die ihre Populationsgröße quadratisch (oder noch schneller) vergrößern (z.B. ein Raumschiff, das Gleiterkanonen produziert).

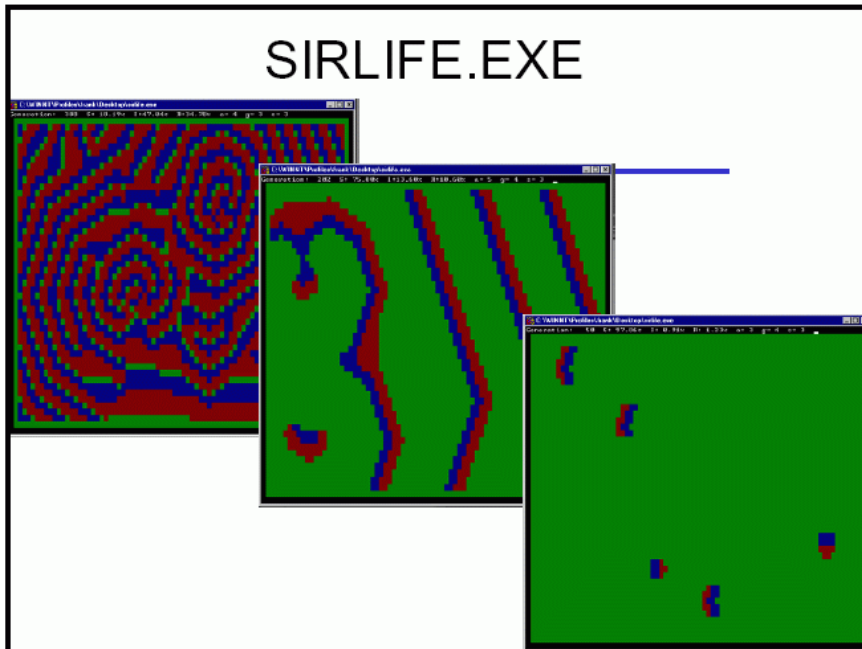
**Typ V:** unstabile Muster. Muster, die sich durch eine Folge von Zuständen weiterentwickeln und nie zum Ausgangszustand zurückkehren. Kleine Muster mit "langer" Entwicklungsphase vor der Stabilisierung heißen "Methusalems".

## *The Game of Life* Beobachtungen

- für eine gegebene Anfangskonfiguration kann i.Allg. das zukünftige Verhalten nicht ohne Simulation vorhergesagt werden.
- einige Startzustände können nicht im Laufe der Simulation entstehen. Diese Zustände heißen *Garten-Eden* Konfigurationen.
- das Spiel ist (berechnungs-)universell. Der Beweis wird über die Konstruktion und Interaktion logischer Gatter geführt.

Praktischer Einsatz zweidimensionaler CA:  
in der Simulation natürlicher Phänomene, z.B. der  
Ausbreitung von Epidemien

Beispiel:



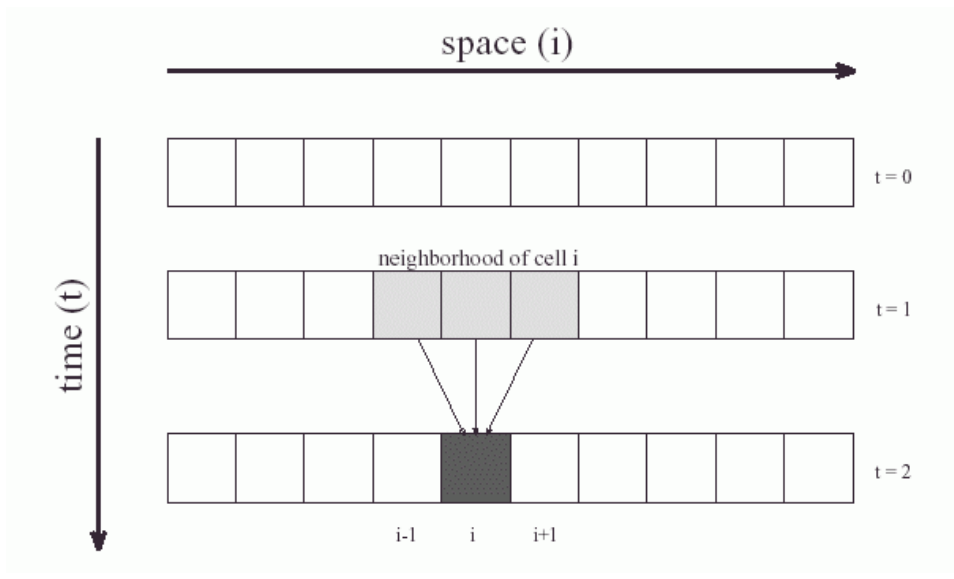
(Universität Leipzig)

### *1-dimensionale zelluläre Automaten*

zugrunde liegt ein (potenziell endloses) Band mit  
Gitterzellen

jede Zelle nimmt einen von  $k$  möglichen Zuständen an  
(einfachster Fall:  $k = 2$ )

Nachbarschaft mit Radius  $r$ : betrachte  $r$  nächste  
Nachbarn auf jeder Seite (einfachster Fall:  $r = 1$ , d.h. nur  
2 Nachbarn und die Zelle selbst werden betrachtet)



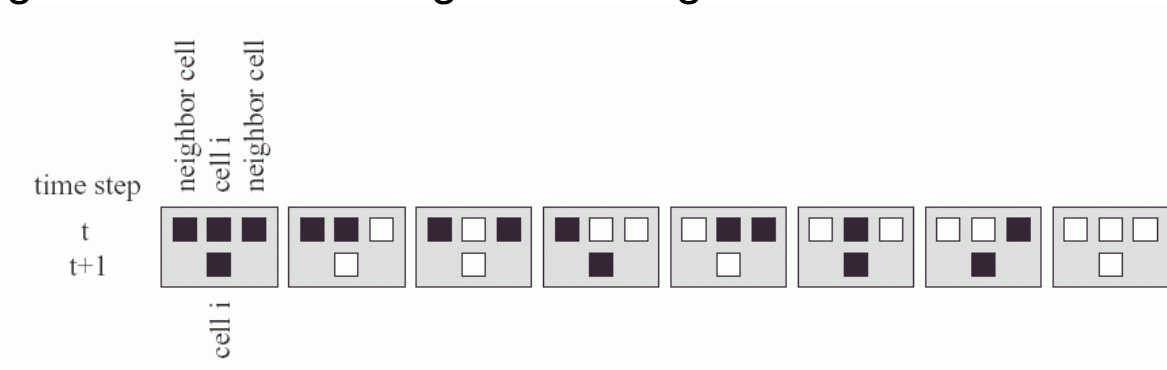
Beschreibung der Regel durch eine Funktionstabelle (look up table, *rule table*, manchmal auch der *Genotyp* genannt):

z.B.

$a_{i-1}(t)$	$a_i(t)$	$a_{i+1}(t)$	$a_i(t+1)$
0	0	0	0
0	0	1	1
0	1	0	1
0	1	1	0
1	0	0	1
1	0	1	0
1	1	0	0
1	1	1	1

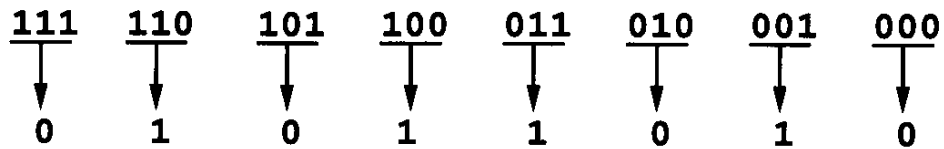
(\*)

grafische Darstellung dieser Regel:





Codierung einer Regel als Dezimalzahl (gewonnen aus dem 01-String der Funktionswerte, der die Wirkung eindeutig festlegt):



$$01011010 = 0 \times 128 + 1 \times 64 + 0 \times 32 + 1 \times 16 + 1 \times 8 + 0 \times 4 + 1 \times 2 + 0 \times 1 = 90$$

Bei *totalistischen* Regeln hängt das Ergebnis der Funktion nur von der Summe der Werte in der Nachbarschaft ab.

Hier wird eine andere Form der Codierung gewählt:

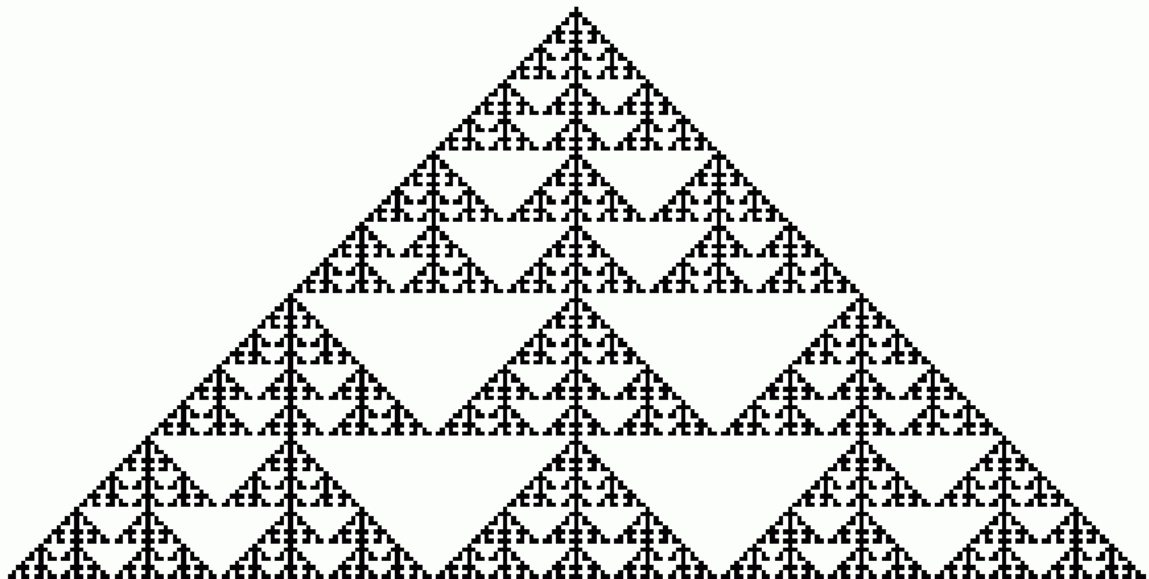
z.B. für einen totalistischen CA mit  $r = 2$  und  $k = 2$  (unten sind Beispiel-Zustandsübergänge aufgezählt, die von dieser Regel induziert werden):

$\Sigma = 5$	$\Sigma = 4$	$\Sigma = 3$	$\Sigma = 2$	$\Sigma = 1$	$\Sigma = 0$	
0	1	0	1	0	0	= 20
	$\Sigma = 1$	:	01 0 00	→	0	
	$\Sigma = 2$	:	10 0 01	→	1	
	$\Sigma = 3$	:	01 1 01	→	0	
	$\Sigma = 4$	:	11 1 01	→	1	
	$\Sigma = 5$	:	11 1 11	→	0	

weitere, häufig verwendete Restriktionen für die Regeln:

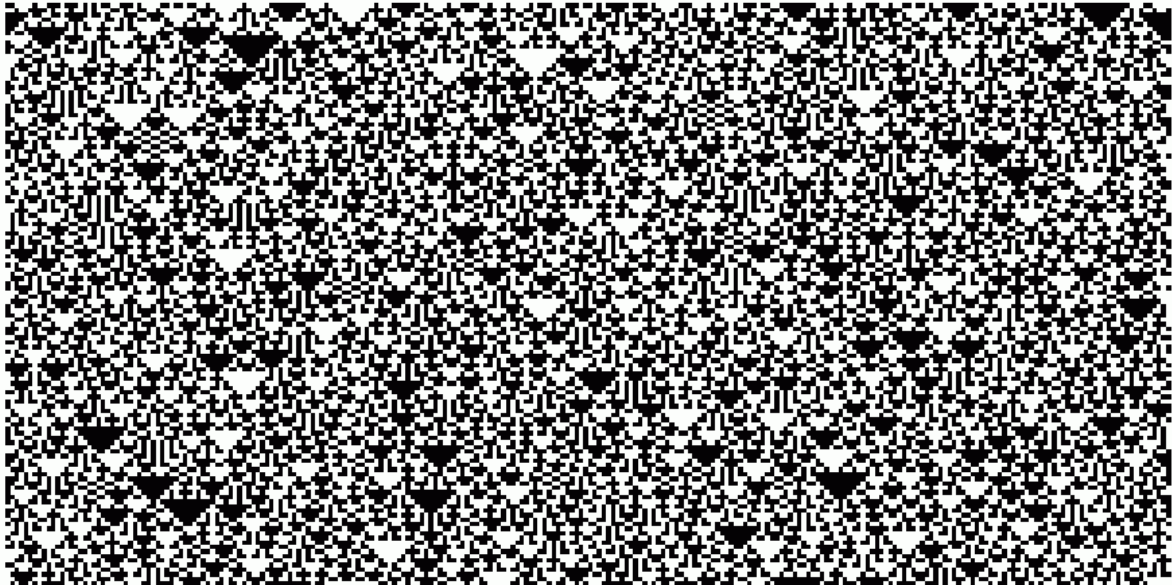
- es gibt einen speziellen Zustand 0 ("quiescent state"), und wenn alle Zellen der Nachbarschaft (und die aktuelle Zelle) den Zustand 0 haben, ist das Ergebnis wieder 0
- Symmetrie der Regeln (z.B. 100 und 001 müssen denselben Zustand liefern)

Anwendung des CA mit der obigen Regelmenge (\*) auf eine Zeile mit einer einzigen 1, sonst lauter Nullen:



(senkrechte Achse = Zeitachse!)

ein anderes Muster entsteht, wenn man (bei gleicher Regelmenge!) von einer Anfangszeile mit *zufälliger* Verteilung von Nullen und Einsen ausgeht:



typisch: "Dreiecke" als kleine, geordnete Strukturen im Chaos.

Resultierendes Muster als Ergebnis der Anwendung einer CA-Regelmenge: "*Phänotyp*".

### *Wolfram's Klassifikation*

Stephen Wolfram ordnete die 1-dim. CA-Regeln in 4 Klassen ein, je nach der Dynamik, die sich entwickelt bei "typischen" (zufälligen) Ausgangszeilen (d.h. nach dem typischen Phänotyp):

### **Klasse I:**

Es entsteht ein räumlich homogener Zustand. Muster verschwinden. "Fixpunkt"-Zustand.

Beispiel:

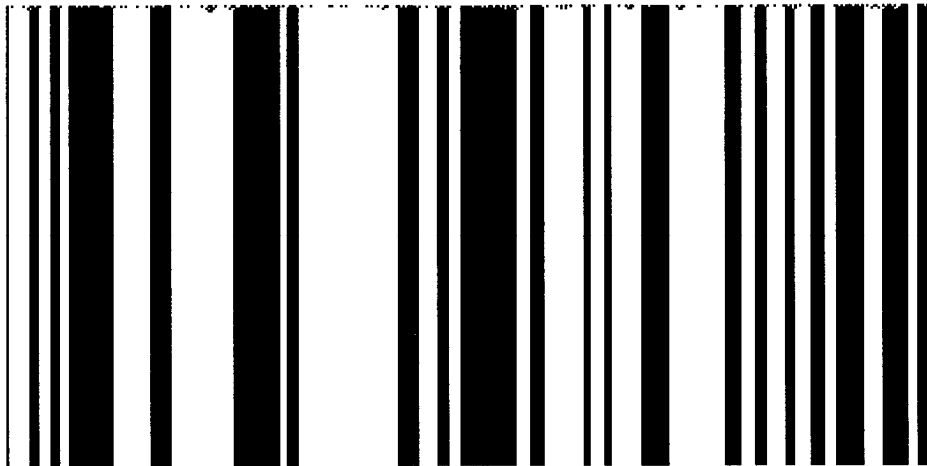


(totalistische Regel mit  $k=2$ ,  $r=2$  und Code 60)

### **Klasse II:**

liefert Folgen von einfachen stabilen oder periodischen Strukturen (endlose Zyklen derselben Zustände).

Beispiel:

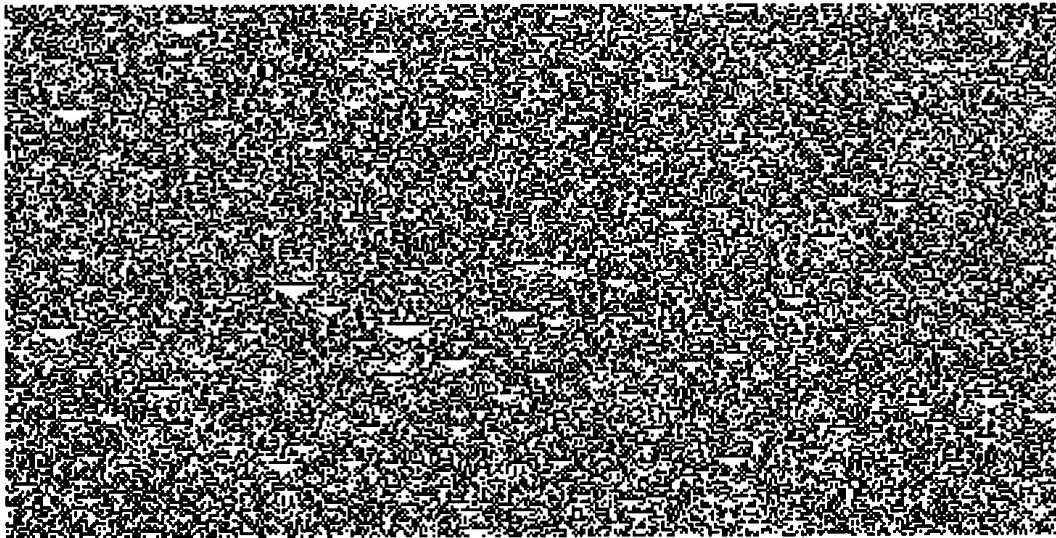


(totalistische Regel mit  $k=2$ ,  $r=2$  und Code 56)

### Klasse III:

zeigt chaotisches, aperiodisches Verhalten. Muster wachsen unbegrenzt mit fester Wachstumsrate.

Beispiel:



(totalistische Regel mit  $k=2$ ,  $r=2$  und Code 10)

### Klasse IV:

liefert komplizierte lokale Strukturen, von denen sich einige fortbewegen können. Muster wachsen und schrumpfen mit der Zeit. Die "interessanteste" Klasse, möglicherweise mit universeller Berechnungskapazität, wie beim Game of Life.

Beispiel:



(totalistische Regel mit  $k=2$ ,  $r=2$  und Code 20)

Die 4 Klassen unterscheiden sich auch durch die Wirkung, die kleine Änderungen in den Anfangsbedingungen haben (Wolfram 1984):

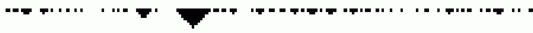
Klasse I: keine Änderung im Endzustand.

Klasse II: Änderungen nur in einer Region endlicher Größe.

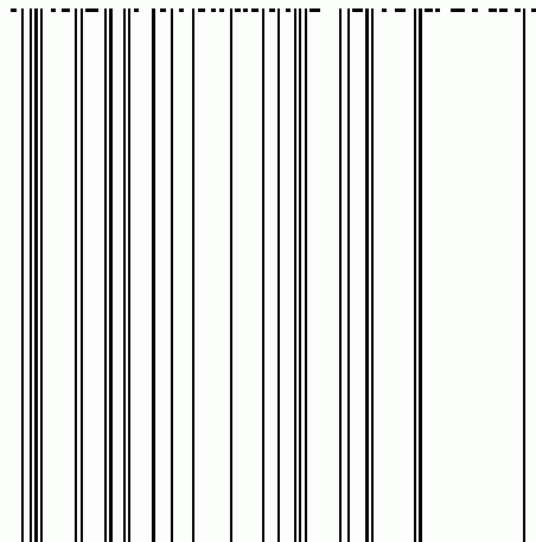
Klasse III: Änderungen in einer Region mit ständig wachsender Größe.

Klasse IV: Irreguläre Änderungen.

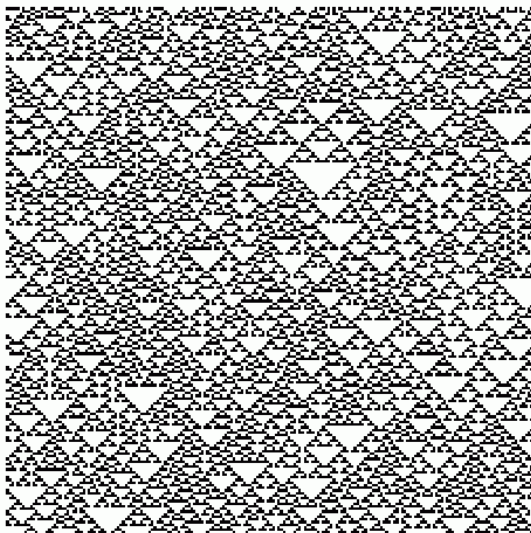
weitere Beispiel-CA (mit  $k = 2$ ,  $r = 1$ ):



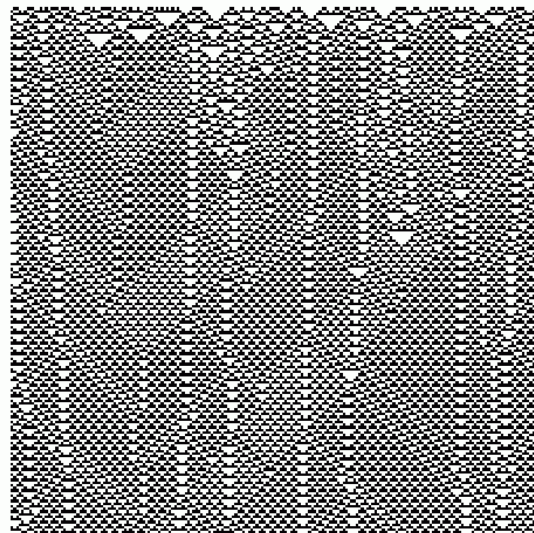
Klasse I (allg. Regel mit Code 128)



Klasse II (Code 4)

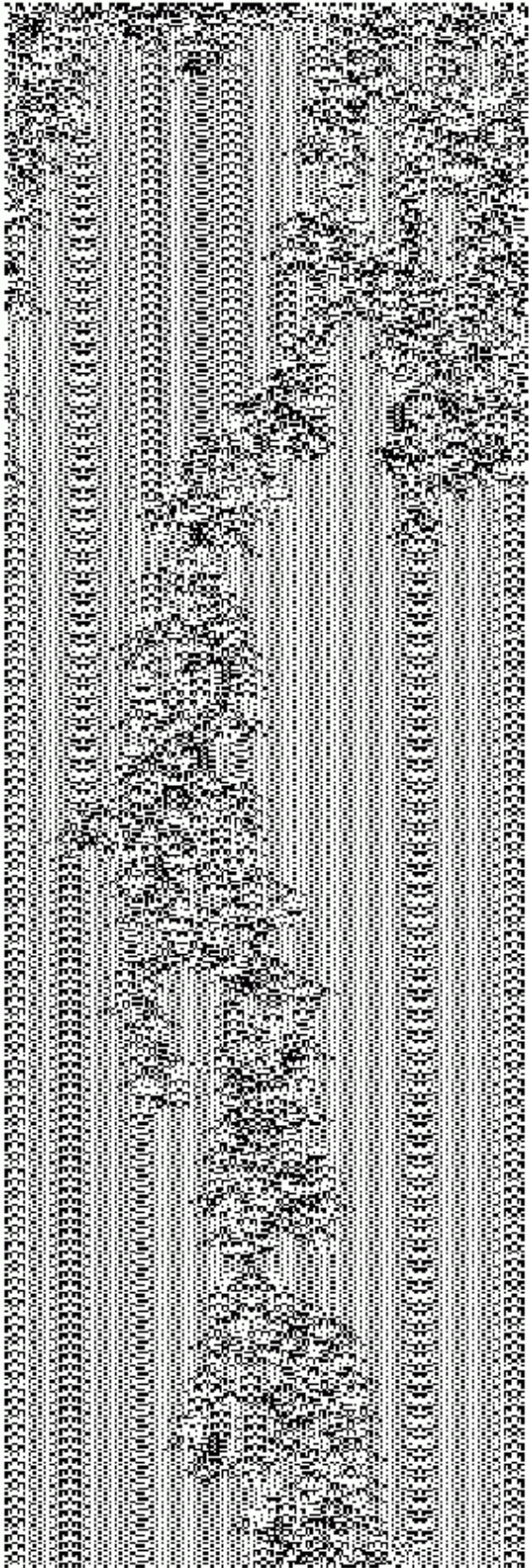
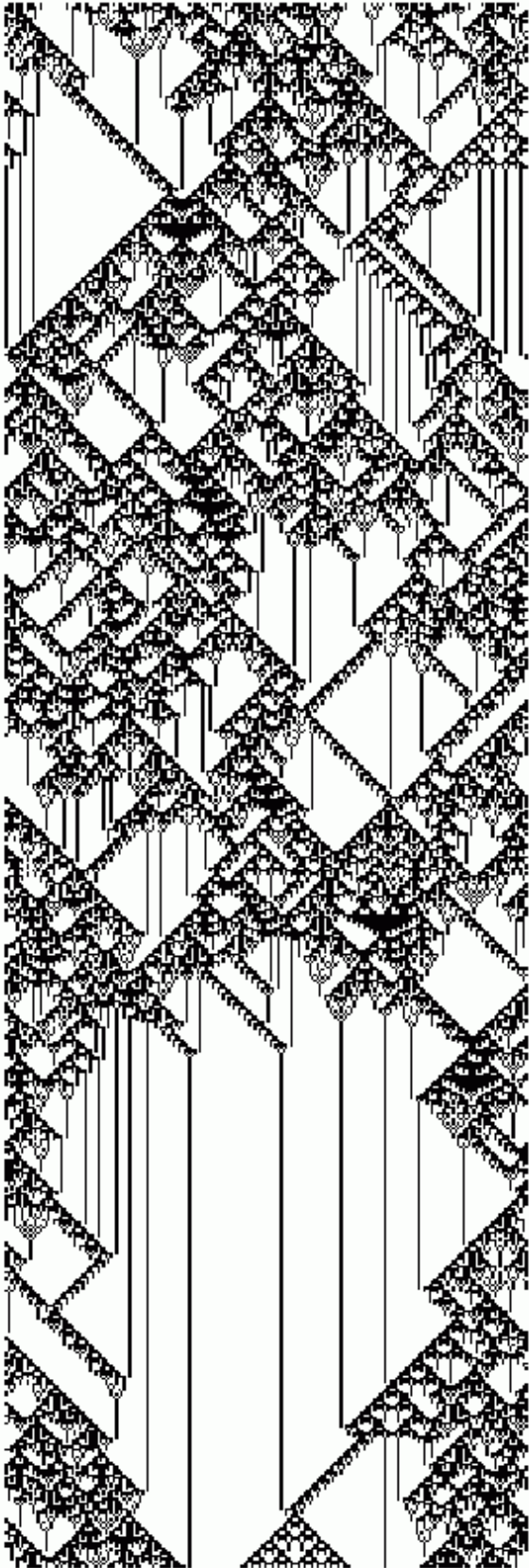


Klasse III (Code 22)



Klasse IV (Code 54)

weitere Beispiele für Klasse-IV-CA:



Klassifikation aller symmetrischen Regeln mit "quiescent state" und mit  $k=2$ ,  $r=1$  (P = peripheral, d.h. der Zustand der aktuellen Zelle selbst hat keinen Einfluss; T = totalistisch):

Rule	Classif.	Rule	Classif.	Rule	Classif.	Rule	Classif.
0	T,P,I	72	I	128	T,I	200	II
4	II	76	II	132	I	204	II
18	III	90	P,III	146	III	218	II
22	T,III	94	II	150	T,III	222	II
32	I	104	T, I	160	P, I	232	T, II
36	II	108	II	164	II	236	II
50	I/II	122	III	178	II	250	P, I
54	III	126	T,III	182	III	254	T, I

(aus Adami1998)

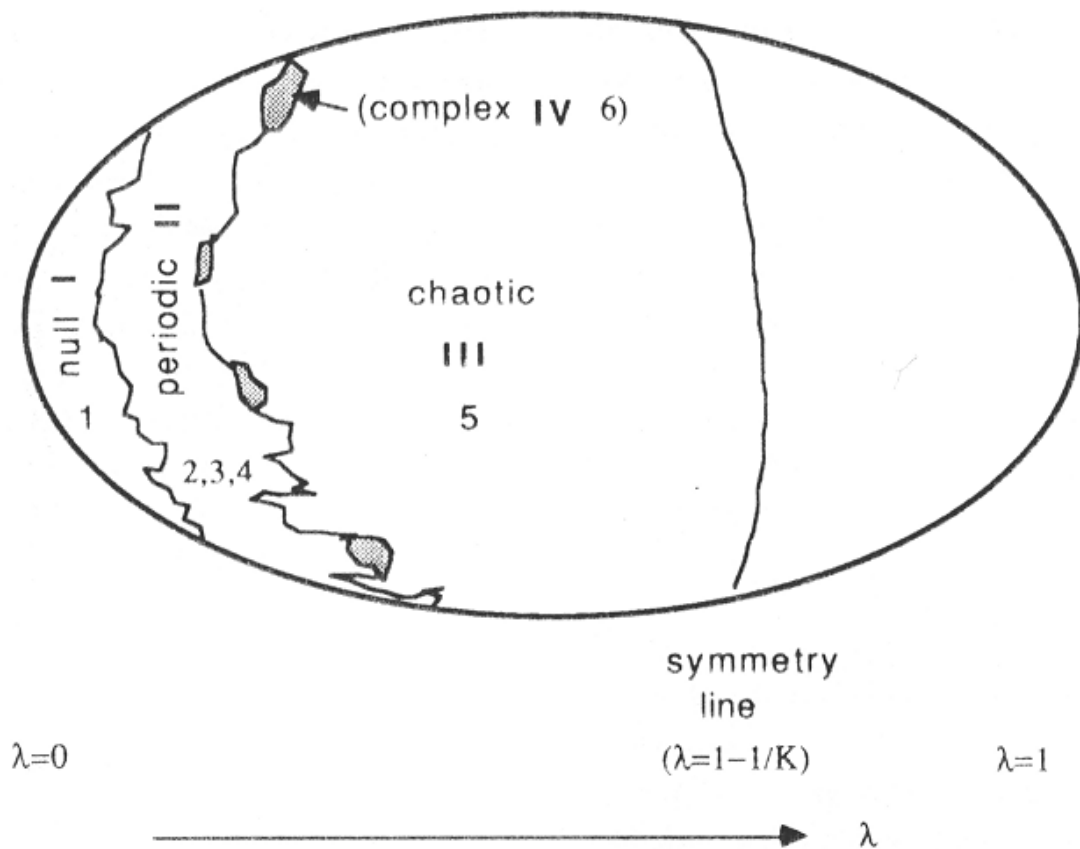
Interessanter als die bloße Auflistung ist die Struktur des "rule space", d.h.: welche Klassen sind "benachbart"?  
Wie ändert sich das Verhalten, wenn man nur 1 Bit der Regel-Tabelle ändert?

- zunächst einmal lässt sich aus der Kenntnis der Regeln wenig über die Dynamik des CA erschließen (außer in einfachen Fällen, wo das Vorliegen von Klasse I sofort evident ist).
- Eine interessante Charakterisierung der Funktionstabelle liefert der Anteil  $\lambda$  der Einträge  $\neq 0$ :

Mit wachsendem  $\lambda$  gelangt man von Klasse I in der Regel zu Klasse II und III, und schließlich aus Symmetriegründen in umgekehrter Reihenfolge wieder zurück. Klasse IV ist eingestreut "zwischen" II und III.



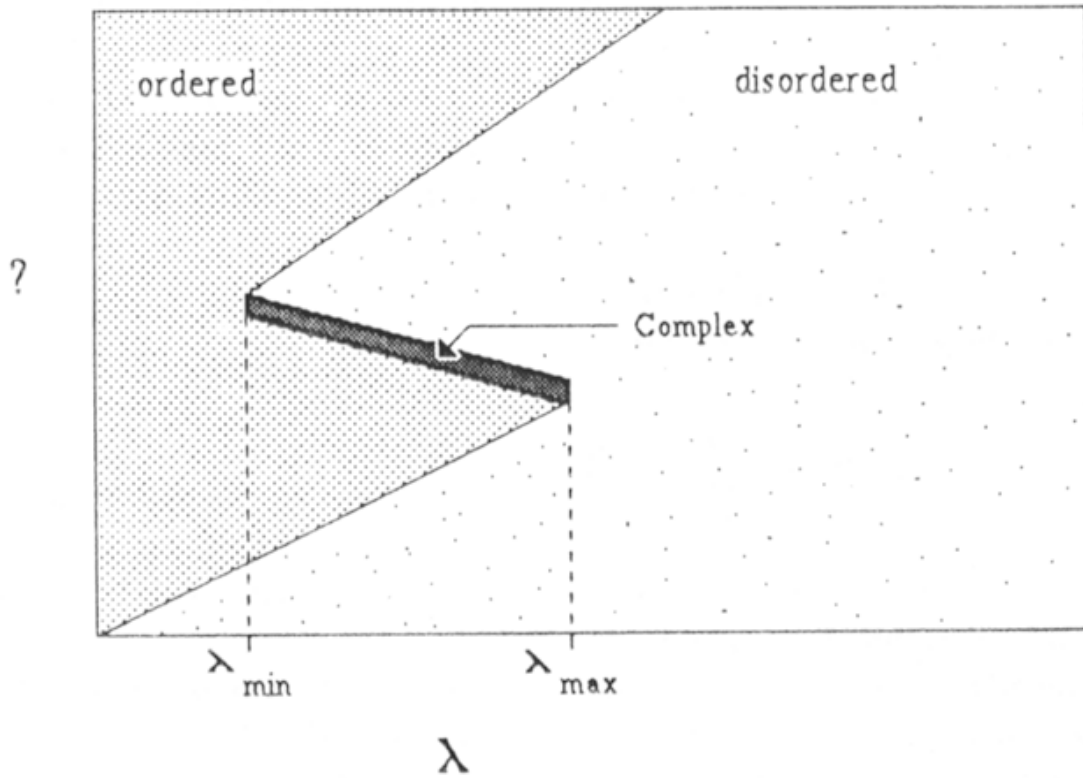
Li, Packard & Langton (1990) skizzieren den "rule space" wie folgt:



**"Edge-of-Chaos-Prinzip":**

die interessantesten Strukturen (mit größtem morphogenetischem und Rechen-Potenzial, d.h. Klasse IV) liegen "am Rand des Chaos", d.h. zwischen den Klassen II und III.

Die Struktur der "Chaos-Grenze" ist jedoch bei den CA nicht ganz klar, da ein zweiter, ordnender Parameter (neben  $\lambda$ ) nicht definiert werden konnte. Dieser bleibt hypothetisch:



# Reaktions-Diffusions-Systeme

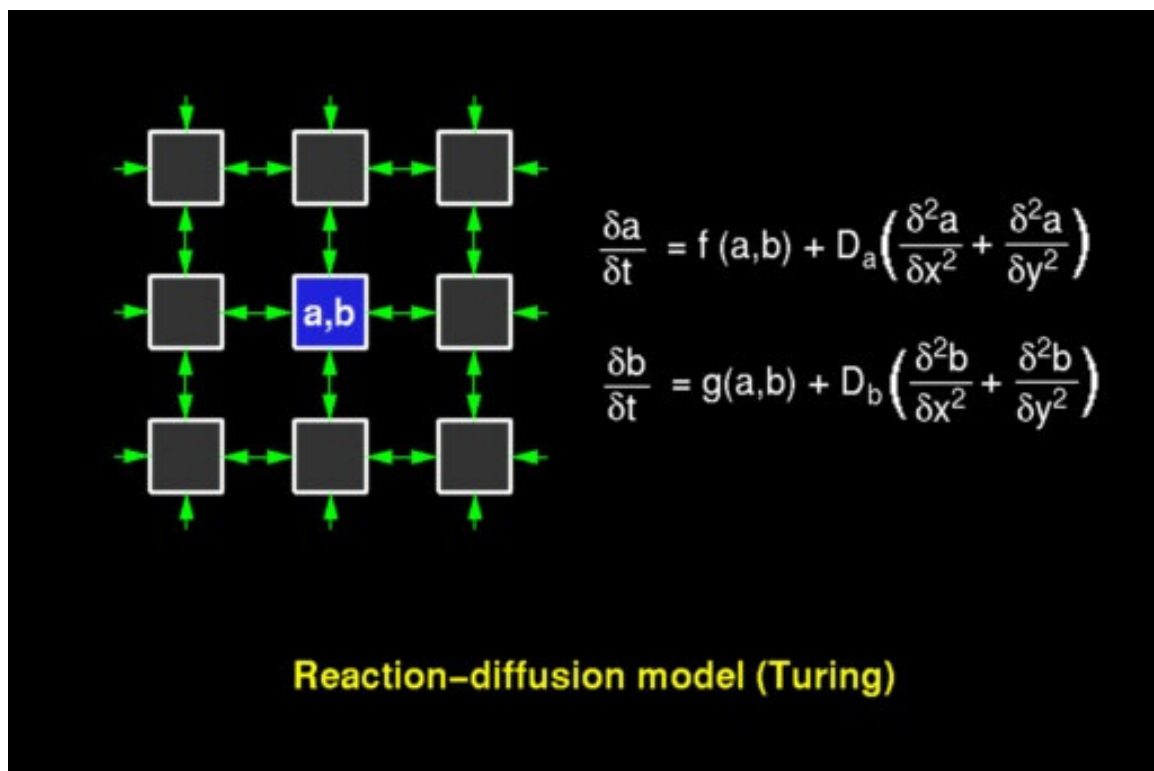
Gegenstück zu zellulären Automaten:  
ebenfalls raumorientiert, mit fester Nachbarschafts-  
relation und kontextsensitiven Regeln  
aber: **kontinuierlich** in Raum, Zeit und Strukturen

Formalismus: partielle Differentialgleichungen

(diese müssen aber für die Realisierung der Simulation im Rechner wieder diskretisiert werden → enger Bezug zu zellulären Automaten!)

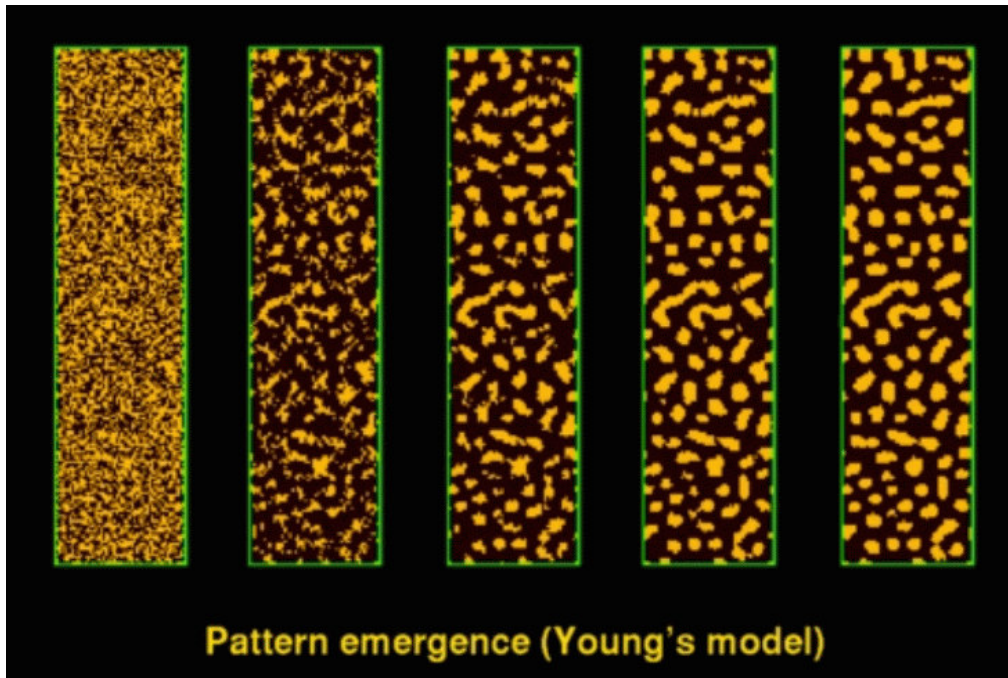
Grundideen:

- Substrate diffundieren im Raum, wechselwirken miteinander und mit Objekten
- Systeme partieller Differentialgleichungen legen die Dynamik der Substrate fest
- charakteristisch: Modellierung von (Konzentrations-) *Feldern*, -gradienten.



bei bestimmten Funktionen und Parameterkombinationen kann es zur räumlichen und zeitlichen (makroskopischen) Musterbildung kommen – auch bei homogenem Ausgangszustand! ("Symmetriebrechung")

Beispiel:



- räumliche Muster: Patches, Streifen, Zickzackmuster, Wellen...
- zeitliche Muster: Oszillationen, Bewegung von Wellenfronten, Interferenzmuster...

## Erklärungsleistung von R.-D.-Modellen

- Wahl von  $f$  und  $g$  bestimmt Mustertyp und Stabilität
- Anfangsbedingungen („Keim“) bestimmen Realisierung
- Substratverbrauch durch zeitlich veränderliche  $f$  und  $g$  darstellbar

### Biologische Anwendungen:

- Schneckenhäuser, Muschelschalen
- Tier“fell“zeichnungen (Leopard, Zebra, Vögel, Fische, ...)

(Lange 2001)

## Aktivator-Inhibitor-Modelle

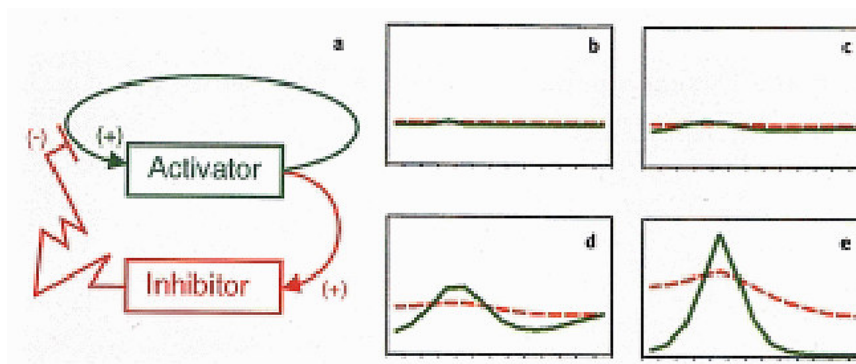
### Spezialfall des Reaktions-Diffusions-Ansatzes

beispielhaft lässt sich hieran die Musterbildung in Reaktions-Diffusions-Modellen studieren

2 Substanzen:

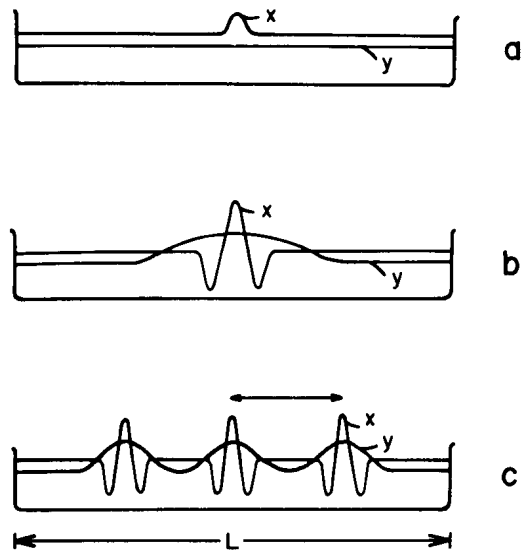
- Aktivator: fördert die eigene Entstehung ("autokatalytisch") *und* die des Inhibitors, fördert in visuellen Modellen zugleich die Pigmentbildung
- Inhibitor: hemmt die Bildung des Aktivators

Inhibitor diffundiert schneller als der Aktivator (größere Diffusionskonstante)



Ergebnis:

Die homogene Verteilung beider Substanzen (b) ist instabil; ein winziges lokales Anwachsen der Aktivator-Konzentration wächst weiter an (c, d), bis ein *steady state* erreicht wird, in dem sich Selbstaktivierung und Inhibition gerade ausgleichen. In größerer Entfernung vom Peak der Aktivator-Konzentration können weitere Peaks entstehen (x Aktivator, y Inhibitor):



math. Modell:

$a(x, t)$  Konzentration des Aktivators an Position  $x$  zur Zeit  $t$

$b(x, t)$  entsprechend für den Inhibitor

$r_a, r_b$  Abbauraten (decay rates)

$D_a, D_b$  Diffusionskonstanten

weitere Größen: Konstanten

$$\frac{\partial a}{\partial t} = s \left( \frac{a^2}{b} + b_a \right) - r_a a + D_a \frac{\partial^2 a}{\partial x^2} \quad (1)$$

$$\frac{\partial b}{\partial t} = s a^2 - r_b b + D_b \frac{\partial^2 b}{\partial x^2} + b_b \quad (2)$$

Wenn man in (1) den Einfluss des Inhibitors weglässt und alle Konstanten zu 1 bzw. 0 vereinfacht, so ergibt sich mit

$$\frac{\partial a}{\partial t} = a^2 - a$$

eine Differentialgleichung mit einem labilen *steady state* bei  $a=1$  (jede kleinste Abweichung wird sofort verstärkt).

Für den Inhibitor hat man bei entspr. Vereinfachung:

$$\frac{\partial b}{\partial t} = a^2 - b$$

⇒ *steady state* bei  $b = a^2$

Wenn man die Inhibitorkonzentration im *steady state* annimmt und die Wirkung des Inhibitors auf  $a$  jetzt einbezieht, bekommt man:

$$\frac{\partial a}{\partial t} = \frac{a^2}{b} - a \approx \frac{a^2}{a^2} - a = 1 - a$$

und dies charakterisiert einen *steady state* bei  $a=1$  mit *negativem feedback* (Ableitung hängt von  $-a$  ab), d.h. durch die Berücksichtigung des Inhibitors ist der *steady state* nun *stabil!*

bei Einbeziehung der Raumdimension und der Diffusion:  
stabile räumliche Muster

Zur Simulation werden die Ableitungen durch Differenzen approximiert:

$$\frac{\partial a}{\partial t}(x, t) \approx a_i(t+1) - a_i(t),$$

$$\frac{\partial a}{\partial x}(x, t) \approx a_{i+1}(t) - a_i(t), \text{ and}$$

$$\frac{\partial^2 a}{\partial x^2}(x, t) \approx [a_{i+1}(t) - a_i(t)] - [a_i(t) - a_{i-1}(t)].$$

Einsetzen in (1) und (2) ergibt:

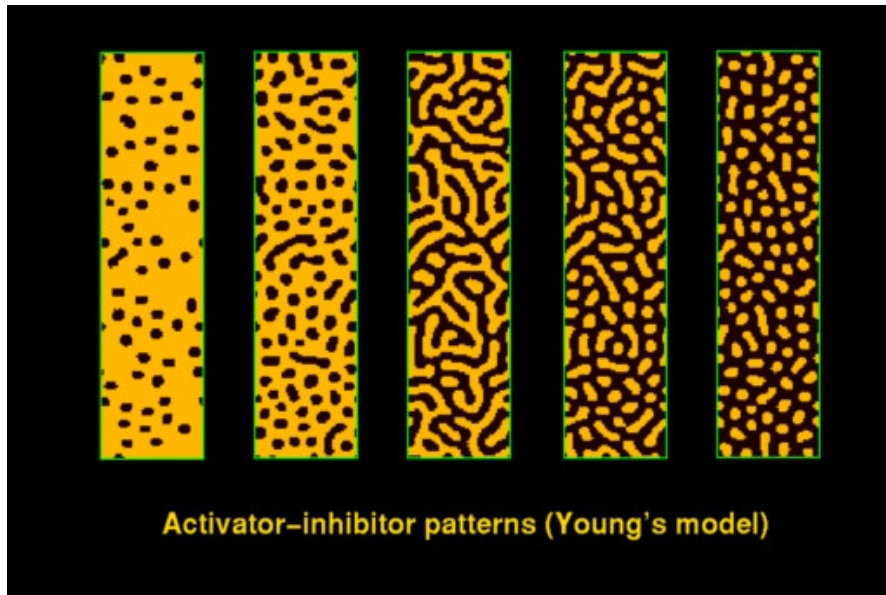
$$a_i(t+1) = a_i(t) + s \left( \frac{a_i^2(t)}{b_i(t)} + b_a \right) - r_a a_i(t) + D_a (a_{i-1}(t) + a_{i+1}(t) - 2a_i(t))$$

$$b_i(t+1) = b_i(t) + s a_i^2(t) - r_b b_i(t) + D_b (b_{i-1}(t) + b_{i+1}(t) - 2a_i(t)) + b_b$$

Diese Gleichungen kann man als Regeln eines 1D-Zellularautomaten mit 2 Variablen für jede Zelle ansehen

- allerdings sind die Variablen reellwertig – Abweichung von der Voraussetzung diskreter Zustände

Simulationsergebnisse im 2-dim. Fall:



andere Variante: Aktivator-Substrat-Modell

### The activator-substrate model

$a_i$  -- concentration of the activator  
 $s_i$  -- concentration of the substrate

$$\frac{\delta a}{\delta t} = \rho s \left( \frac{a^2}{1+ka^2} + \rho_0 \right) - \mu a + D_a \frac{\delta^2 a}{\delta x^2}$$

$$\frac{\delta s}{\delta t} = \sigma - \rho s \left( \frac{a^2}{1+ka^2} + \rho_0 \right) - \nu s + D_s \frac{\delta^2 s}{\delta x^2}$$

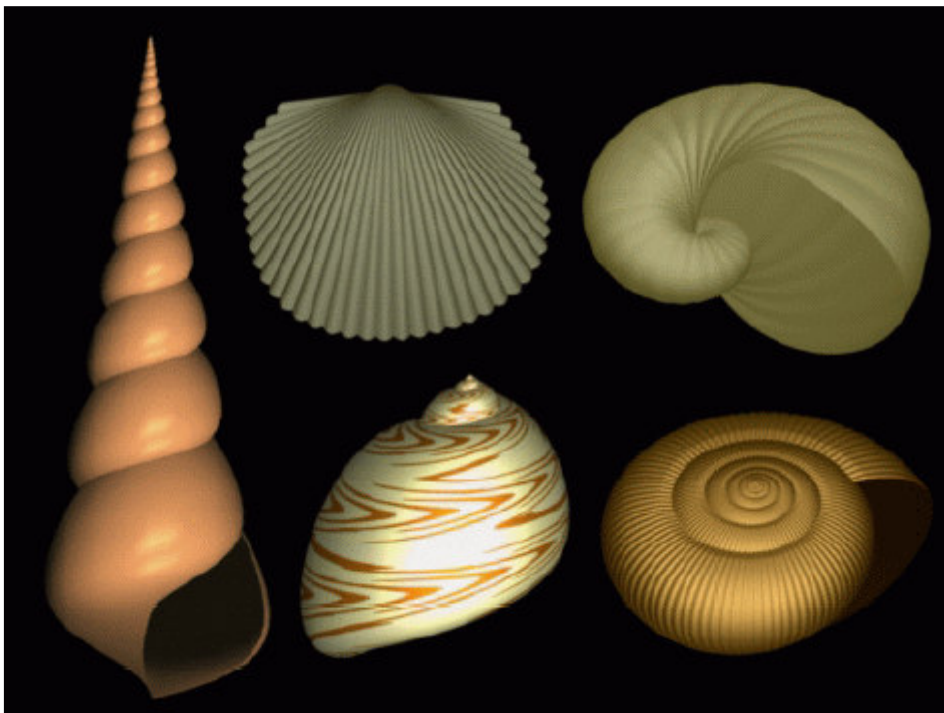


Anwendung:



im linken Bild läuft die Zeit von oben nach unten (wie bei 1D-Zellularautomaten) – im rechten Bild ist das Streifenmuster lediglich geometrisch transformiert

Anwendung: Modellierung von Schneckenschalen (Fowler et al. 1992)



Simulationsergebnisse, aus Fowler et al. 1992



*links: Foto, rechts: Simulation*

Ausschnitte entnommen aus  
Adami (1998), Lange (2001), Li et al. (1990)  
(genaue Quellenangaben siehe [http://www.uni-  
forst.gwdg.de/~wkurth/fs10\\_lit.htm](http://www.uni-forst.gwdg.de/~wkurth/fs10_lit.htm))